



Forstwirtschaft

# WALDZUSTANDSBERICHT 2022 DES LANDES BRANDENBURG



Forstwirtschaft

**WALDZUSTANDSBERICHT 2022  
DES LANDES BRANDENBURG**

## **Impressum**

### **Herausgeber**

Ministerium für Landwirtschaft, Umwelt und Klimaschutz (MLUK) Referat Öffentlichkeitsarbeit  
Henning-von-Tresckow-Straße 2-13, Haus S, 14467 Potsdam  
Telefon: +49 (0)331 866-7237  
E-Mail: [bestellung@mluk.brandenburg.de](mailto:bestellung@mluk.brandenburg.de)  
Internet: [mluk.brandenburg.de](http://mluk.brandenburg.de) oder [www.agrar-umwelt.brandenburg.de](http://www.agrar-umwelt.brandenburg.de)

### **Redaktion**

Landesbetrieb Forst Brandenburg  
Landeskompetenzzentrum Forstberswalde (LFE)  
Alfred-Möller-Straße 1  
16225 Eberswalde  
Telefon: +49 (0)3334 2759-203  
E-Mail: [lfe@lfb.brandenburg.de](mailto:lfe@lfb.brandenburg.de)  
Internet: [www.forst.brandenburg.de](http://www.forst.brandenburg.de)

### **Fotos**

Titelbild: Drohnenaufnahme Baumkronen, Frank Becker, LFE  
S. 12, 13, 14, Baumarten, Jan Engel, LFE  
S. 15, Kiefernprozessionsspinner, Pascal Ebert, LFE  
S. 16, Eschenstengelbecherchen, Ralf Kätzel, LFE  
S. 16, absterbende Esche, Landesforstanstalt Mecklenburg-Vorpommern

### **Satz und Druck**

DRUCKZONE GmbH & Co. KG  
Gedruckt auf Recyclingpapier  
Auflage: 100 Exemplare

Dezember 2022, Potsdam

Diese Veröffentlichung ist Teil der Öffentlichkeitsarbeit des Ministeriums für Landwirtschaft, Umwelt und Klimaschutz des Landes Brandenburg. Sie wird kostenlos abgegeben und ist nicht zum Verkauf bestimmt.

Sie darf nicht für Zwecke der Wahlwerbung verwendet werden. Unabhängig davon, auf welchem Weg und in welcher Anzahl diese Broschüre dem Empfänger zugegangen ist, darf sie, auch ohne zeitlichen Bezug zu einer bevorstehenden Wahl, nicht in einer Weise verwendet werden, die als Parteinahme der Landesregierung zugunsten einzelner Gruppen verstanden werden könnte. Nachdruck – auch auszugsweise – nur mit schriftlicher Genehmigung des Herausgebers.

Forstwirtschaft

# **WALDZUSTANDSBERICHT 2022 DES LANDES BRANDENBURG**

# Inhaltsverzeichnis

<b>Zusammenfassung</b> .....	<b>7</b>
<b>Hauptergebnisse</b> .....	<b>8</b>
<b>Forstliches Umweltmonitoring</b> .....	<b>9</b>
<b>Waldzustand</b> .....	<b>11</b>
Kiefer .....	12
Buche .....	13
Eiche .....	14
Sonstiges Laubholz .....	15
Sonstiges Nadelholz .....	16
<b>Witterung</b> .....	<b>17</b>
<b>Waldschutz</b> .....	<b>20</b>
<b>Waldbrand</b> .....	<b>24</b>
<b>Monitoring Zum Eschentriebsterben</b> .....	<b>25</b>
<b>Literatur</b> .....	<b>28</b>
<b>Anhang</b> .....	<b>29</b>
Ergebnisse Der Waldzustandserhebung .....	29
Kronenzustandsentwicklung Nach Baumartengruppen .....	31
Fruktifikation Der Hauptbaumarten .....	33
Baumartenvergleich – Kronenverlichtung .....	35
Baumartenvergleich – Deutliche Schäden .....	36
Baumartenvergleich – Starke Schäden Und Jährliche Absterberate .....	38
Baumartenvergleich – Fruktifikation .....	39
Witterungsbedingungen – Abweichung Vom Monatsmittel .....	40
Witterungsbedingungen – Klimatische Wasserbilanz .....	41

# Zusammenfassung

Insgesamt hat sich der Kronenzustand der Waldbäume Brandenburgs im Jahr 2022 geringfügig verbessert. Noch immer wird jedoch jeder fünfte Baum als deutlich geschädigt beurteilt. Nur 8 Prozent von insgesamt 4.740 Probestämmen der diesjährigen Waldzustandserhebung zeigten keine sichtbaren Kronenschäden. Die jährliche Absterberate entspricht in etwa dem langjährigen Mittel von ca. 0,4 Prozent. Nur noch weniger als 10 Prozent der betrachteten Bäume sind ohne Schäden.

Die Witterungsbedingungen der Vegetationsperiode (Apr.-Sep.) waren erneut überdurchschnittlich warm und trocken. Dieses zeigte sich besonders bei den Laubbäumen. Der Anteil von Individuen mit deutlichen Schäden erhöhte sich bei Buchen um 14 %-Punkte und bei Eichen um 8 %-Punkte auf aktuell 54 bzw. 50 Prozent. Der Kronenzustand der Kiefer verbesserte sich hingegen um 5 %-Punkte. Der Anteil an Kiefern mit deutlichen Schäden beträgt aktuell 15 Prozent.

Die Waldschutzsituation wurde im Jahr 2022 durch abiotische Schadereignisse dominiert. Neben einer Brandfläche von insgesamt 1.411 Hektar fielen in Folge der drei Winterstürme Ylenia, Zeynep und Antonia fast eine Million Festmeter Schadholz an. Aufgrund der anhaltenden Trockenheit der Vergangenheit und den auch in diesem Zusammenhang angefallen Schadholzmengen

verbleibt die Populationsdichte von holz- und rindenbrütenden Käferarten auf einem hohen Niveau. Zudem kann eine häufige Beteiligung pilzlicher Schaderreger beobachtet werden. Die Populationsdichten von blatt- und nadelfressenden Insekten befinden sich hingegen, wie schon im Vorjahr, auf einem niedrigen Niveau.

Die Waldbrandsituation war auch im Jahr 2022 äußerst angespannt und mit den Jahren 2018 und 2019 vergleichbar. Die Löscharbeiten konnten für 78 Prozent der Brände spätestens 20 Minuten nach Erkennung beginnen, was zumeist noch größere Schäden verhinderte. Für 41 Prozent der Waldbrände 2022 wurde vorsätzliche Brandstiftung oder eine nicht aufgeklärte Zündung als Ursache festgestellt.

Im Beitrag „Monitoring zum Eschentriebsterben“ wird der Forschungsverbund FraxMon vorgestellt. Hier wurde ein Boniturschlüssel für die Esche entwickelt und sechs Schadstufen des Eschentriebsterbens ausgewiesen. Insgesamt wurden 14 Intensivdauerbeobachtungsflächen in ganz Deutschland angelegt und alle Eschen nach diesem Boniturschlüssel bewertet. Erste Ergebnisse weisen außerdem Möglichkeiten auf, um den Grad der Schädigung mittels Drohnenbefliegungen und Fernerkundungsmethoden abzuleiten.



# Hauptergebnisse

Der Anteil der Waldfläche mit deutlichen Schäden hat im Jahr 2022 um 2 %-Punkte abgenommen (Tab. 1). Damit hat sich der Waldzustand im Vergleich zum Vorjahr geringfügig verbessert. Der Anteil deutlich geschädigter Probebäume ist mit 20 Prozent jedoch weiterhin auf einem hohen Niveau. Des Weiteren hat der Anteil an Probebäumen ohne sichtbare Schäden weiter abgenommen und beträgt aktuell nur noch 8 Prozent.

Der Kronenzustand der Kiefer hat sich im Vergleich zum Vorjahr etwas verbessert. Allerdings gelten immer noch 15 Prozent der Bäume als deutlich geschädigt und nur noch 5 Prozent der Bäume zeigen keine Schäden. Die beiden wichtigsten Laubbaumarten (Eiche und Buche) zeigen eine erhebliche Verschlechterung des Kronenzustandes. Der Anteil an deutlichen Schäden beträgt 50 bzw. 54 Prozent. Nur 5 bzw. 8 Prozent der Bäume sind ohne sichtbaren Schäden.

Tab. 1: Schadstufen in Prozent der Waldfläche und getrennt nach Hauptbaumarten sowie die Veränderung zum Vorjahr in %-Punkten

	ohne Schäden Schadstufe 0	Warnstufe Schadstufe 1	deutliche Schäden Schadstufe 2-4
<b>alle Baumarten</b>	<b>8 %</b> (-4 %-Punkte)	<b>72 %</b> (+6 %-Punkte)	<b>20 %</b> (-2 %-Punkte)
<b>Kiefer</b>	<b>5 %</b> (-5 %-Punkte)	<b>80 %</b> (+10 %-Punkte)	<b>15 %</b> (-5 %-Punkte)
<b>Eiche</b>	<b>5 %</b> (-2 %-Punkte)	<b>45 %</b> (-10 %-Punkte)	<b>50 %</b> (+8 %-Punkte)
<b>Buche</b>	<b>8 %</b> (+1 %-Punkte)	<b>38 %</b> (-15 %-Punkte)	<b>54 %</b> (+ 14 %-Punkte)

Den diesjährigen Ergebnissen der Waldzustandserhebung in Brandenburg liegt die Beobachtung von 4.740 Probebäumen an 198 Waldstandorten zu Grunde. Hauptmerkmale der Waldzustandserhebung sind die Kronenverlichtung (Nadel- / Blattverlust) und der Anteil an Probebäumen mit deutlichen Schäden.

In Brandenburg wird für die Ermittlung der Schadstufe die Vergilbung von Nadeln bzw. Blättern mitberücksichtigt (kombinierte Schadstufe). Ein Baum, der mehr als ein Viertel seiner Nadel- bzw. Blattmasse verloren hat oder eine starke Kronenvergilbung aufweist, wird als „deutlich geschädigt“ beurteilt (Abb. 1).

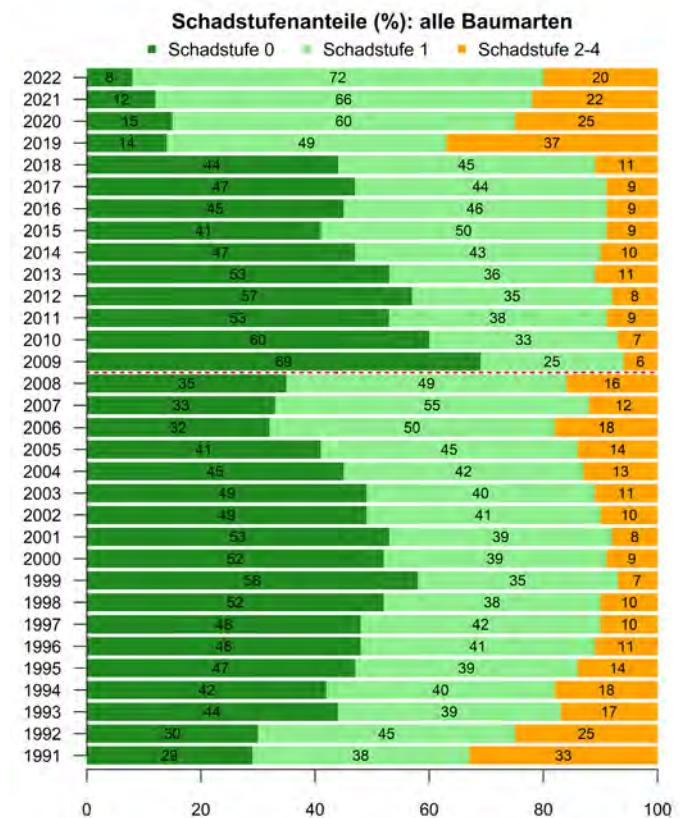


Abb. 1: Schadstufen in Prozent. Die rote Linie markiert eine Messnetzumstellung



# Forstliches Umweltmonitoring

Im Rahmen des forstlichen Umweltmonitorings (ForUm) werden bundesweit einheitlich Daten zum Waldzustand sowie zu den Ursachen-Wirkungs-Beziehungen in Waldökosystemen erhoben und ausgewertet. Während die Waldzustandserhebung jährlich auf einem systematischen Stichprobenetz erfolgt und flächenrepräsentative Aussagen über einzelne Baumartengruppen ermöglicht (Level I), finden auf ausgewählten Dauerbeobachtungsflächen kontinuierliche Messungen von Witterungsbedingungen, Bodenwasserhaushalt und Baumphysiologie statt (Level II). Eine Auswahl der Ergebnisse für Brandenburg ist auch online verfügbar ([Forstliche Umweltkontrolle BB](#)).

Die Durchführung des forstlichen Umweltmonitorings liegt in der Verantwortung der Länder und erfolgt auf Grundlage der im Bundeswaldgesetz (§ 41a BWaldG) verankerten Verordnung über Erhebungen zum forstlichen Umweltmonitoring (ForUmV). Hieran ist ein Durchführungskonzept gekoppelt, in dem die Zusammenarbeit und Berichtspflichten von Bund und Ländern geregelt sind ([Forstliches Umweltmonitoring](#)). In Bund-Länder-Arbeitsgruppen wurden Leitfäden für ein einheitliches methodisches Vorgehen bei den Erhebungen entwickelt und auf europäischer Ebene abgestimmt (ICP Forests). Die Daten zur Waldzustandserhebung werden jährlich an das Thünen-Institut für Waldökosysteme ([Thünen-Institut WO](#)) geliefert und auf Bundesebene ([Waldzustandsbericht](#)) und europaweit (ICP Forests TR) ausgewertet.

Die Waldzustandserhebung (WZE) basiert auf der sogenannten 6-Baum-Stichprobe im Kreuztrakt (Abb. 2). Im Regelfall werden an jedem Probepunkt 24 Probepflanzen begutachtet und hinsichtlich ihres Vitalitätszustandes bewertet (WELLBROCK et al., 2020). Das Hauptmerkmal der WZE ist die Kronenverlichtung, die den relativen Nadel-/Blattverlust (NBV) im Vergleich zu einem ungeschädigten Referenzbaum angibt (EICHHORN et al., 2016). Als Orientierung dient eine Bilderserie zur Einschätzung der Kronenverlichtung von Waldbäumen (MEINING et al., 2007). Außerdem werden jährlich Abstimmungskurse durchgeführt, um die Vergleichbarkeit der Kronenansprache sicherzustellen (EICKENSCHIEDT and WELLBROCK, 2014). Neben der Einschätzung der Kronenverlichtung wird für jeden Probepflanze eine gesonderte Schadansprache durchgeführt, bei der nach einer nationalen Liste von Baumschäden das Auftreten von Schaderregern und Schäden dokumentiert wird (WELLBROCK et al., 2020).

Tab. 2: Berechnung der kombinierten Schadstufe

Kronenverlichtung	Kronenvergilbung			
	0 – 10 %	11 – 25 %	26 – 60 %	61 – 100 %
0 – 10 %	0	0	1	1
11 – 25 %	1	1	2	2
26 – 60 %	2	2	3	3
61 – 99 %	3	3	3	3
100 %	4			

Für die Beurteilung von Kronenschäden wird in Brandenburg die kombinierte Schadstufe verwendet (Tab. 2). Ein Baum der mehr als ein Viertel seiner Nadel- bzw. Blattmasse verloren hat oder eine starke Kronenvergilbung aufweist, wird als „deutlich geschädigt“ bewertet (WELLBROCK et al., 2020). Der Anteil deutlicher Schäden (Schadstufe 2-4) bestimmt maßgeblich den Waldzustand.

Die jährliche Absterberate gibt Auskunft über den Anteil an Probepflanzen, die seit der letzten Erhebung frisch abgestorben sind. Umgefallene oder entnommene Bäume werden nicht hinzugezählt. Neu angelegte Probepunkte und Ersatzbäume werden erst im Folgejahr berücksichtigt, da das Jahr des Absterbens bei der Erstaufnahme nicht eindeutig bestimmt werden kann. Bei der Betrachtung einzelner Baumartengruppen ist bei geringem Stichprobenumfang die Aussagekraft der jährlichen Absterberate begrenzt. Der Anteil starker Schäden (Schadstufen 3 und 4) bezieht sich auf das gesamte Stichprobenkollektiv und alle Probepflanzen mit einer Kronenverlichtung über 60 Prozent.

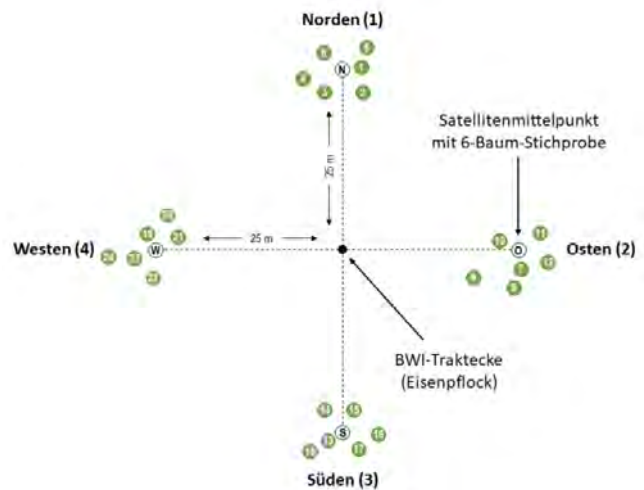


Abb. 2: Schematische Darstellung der 6-Baum-Stichprobe im Kreuztrakt

In Brandenburg erfolgte die WZE von 1991 bis 2003 auf einem 4 x 4 km, von 2004 bis 2008 auf einem 8 x 8 km und seit 2009 auf einem 16 x 16 km-Raster (KALLWEIT, 2016). Im Jahr 2019 wurde das Stichprobenetz für die Baumart Buche und im Jahr 2020 für die Baumart Eiche auf 8 x 8 km verdichtet, um für diese Baumarten eine bessere Beurteilung zu ermöglichen. Im Jahr 2021 wurde die WZE insgesamt auf das 8 x 8 km-Stichprobenetz umgestellt. Während sich die Netzumstellung im Jahr 2009 deutlich auf die Ergebnisse der WZE niedergeschlagen hat, sind die Ergebnisse bei allen weiteren Netzausdünnungen und -verdichtungen weitgehend stabil geblieben und zeigten plausible Entwicklungstrends der Kronenverlichtung.

Entsprechend der Netzdichte variierte die Grundgesamtheit der im Rahmen der WZE untersuchten Bäume (s. Anhang). Bei der Netzumstellung 2009 wurde zudem das bisherige Grundraster auf das bestehende Basisnetz der Bundeswaldinventur verschoben. Der Bruch in der Zeitreihe schränkt zwar den Vergleich jüngerer Erhebungen mit den Daten vor 2009 ein, ermöglicht jedoch eine übergreifende Auswertung der drei großen Waldinventuren WZE, BZE (Bodenzustandserhebung) und BWI (Bundeswaldinventur).



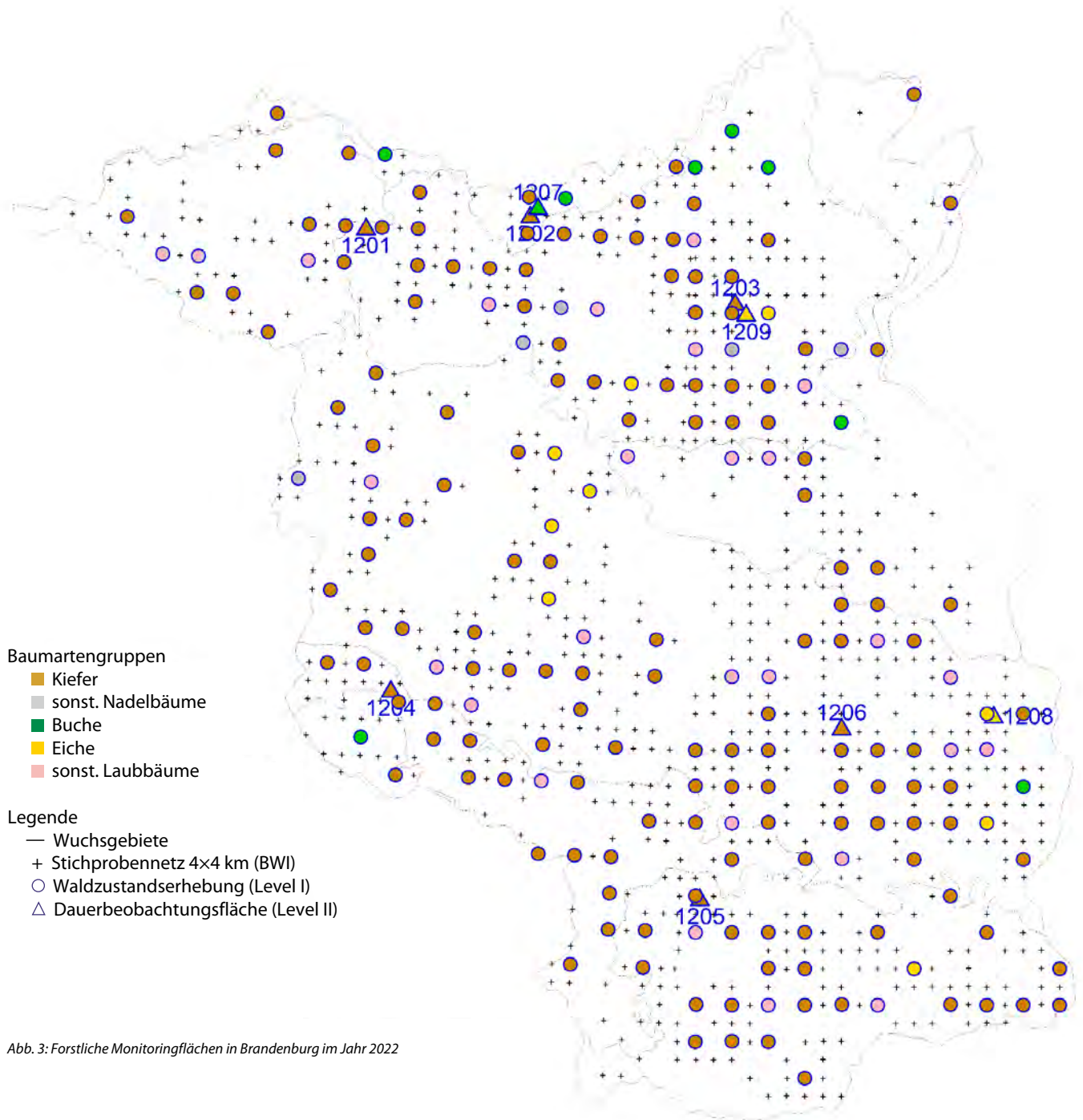


Abb. 3: Forstliche Monitoringflächen in Brandenburg im Jahr 2022

# Waldzustand

Die Ergebnisse der Waldzustandserhebung (WZE) können für den Gesamtwald und getrennt nach Baumartengruppen ausgewertet werden. In Brandenburg zählen die Gemeine Kiefer (*Pinus sylvestris* L.), die Rot-Buche (*Fagus sylvatica* L.) und die Trauben- und Stiel-Eiche (*Quercus petraea* (Matt.) Liebl. und *Quercus robur* L.) zu den Hauptbaumarten. Alle anderen in der WZE-Stichprobe vor-

kommenden Baumarten werden zu den Gruppen sonstige Laubbäume (sonst. Lbh) und sonstige Nadelbäume (sonst. Ndh) zusammengefasst (Abb. 4). Die Beurteilung des Vitalitätszustandes der Baumartengruppen bezieht sich vor allem auf die Entwicklung der mittleren Kronenverlichtung, des Anteils an deutlichen und starken Schäden, der jährlichen Absterberate und der Fruchtbildung.

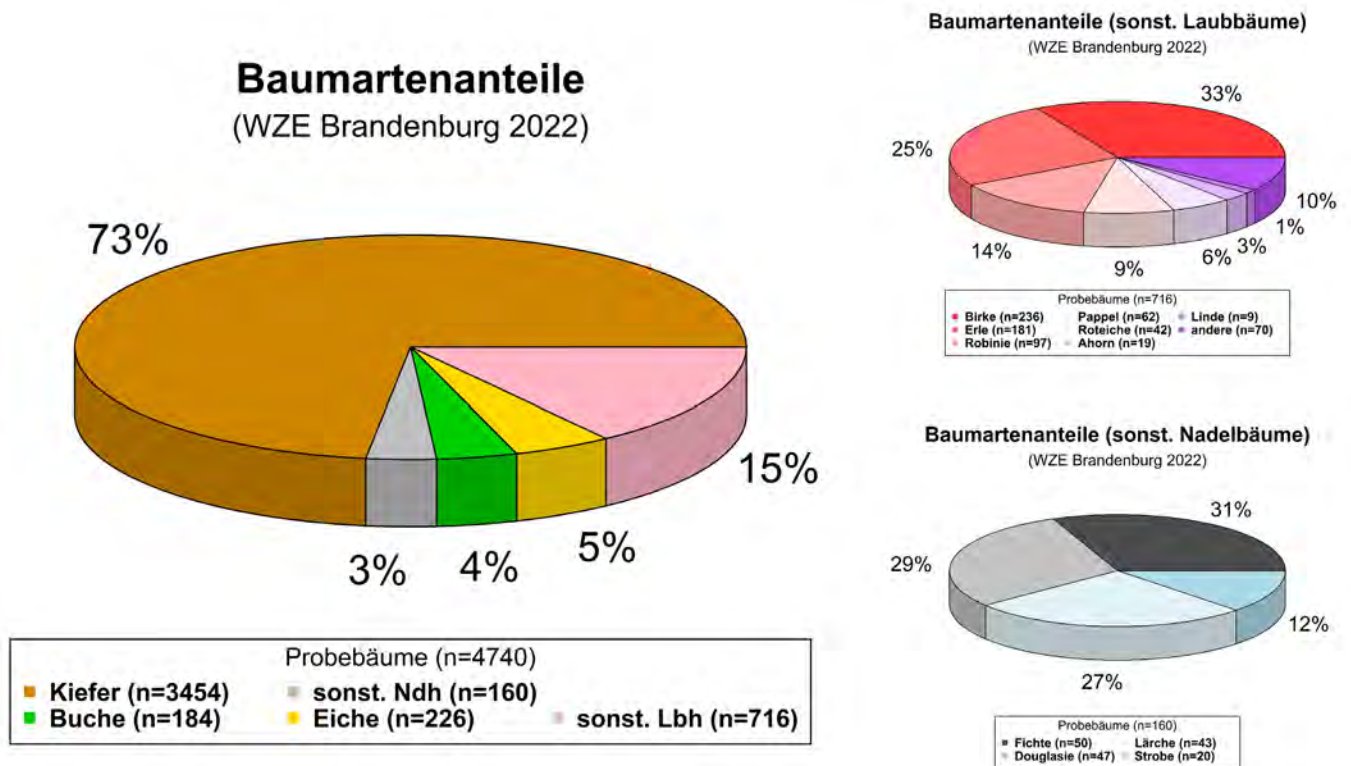


Abb. 4: Baumartenanteile der WZE-Stichprobe und der Untergruppen sonstige Laubbäume und sonstige Nadelbäume (n = Anzahl Probestämme)



## KIEFER

Die Kiefer ist die häufigste Baumart in Brandenburg. Anfang der 1990er Jahre war der schlechte Zustand der Kiefer vornehmlich auf die hohen Immissionsbelastungen dieser Zeit zurückzuführen. Nach der Erholung des Kronenzustandes u. a. in Folge strengerer gesetzlicher Auflagen und damit besserer Luftreinhaltung, wurde der Gesundheitszustand der Kiefer vornehmlich durch das Massenwechselgeschehen von Kieferngrößschädlingen beeinflusst. Im Jahr 2019 kam es in Folge der seit 2018 anhaltenden Trockenheit zu einer massiven Verschlechterung des Kronenzustands, welcher sich bis heute nicht wieder erholt hat.

In diesem Jahr liegt die mittlere Kronenverlichtung der Kiefer mit 22 Prozent auf dem gleichen Niveau des Vorjahres. Der Anteil an Kiefern mit deutlichen Kronenschäden (Schadstufe 2-4) ist zurückgegangen und beträgt aktuell 15 Prozent. Der Anteil an „starken Schäden“ ist in diesem Jahr ebenfalls zurückgegangen, liegt jedoch immer noch, ebenso wie die jährliche Absterberate, über dem langjährigen Mittel. Nur 5 Prozent der untersuchten Kiefern zeigen keine sichtbaren Kronenschäden.

Insgesamt war bei den Kiefern im Frühjahr noch ein relativ guter Austrieb zu beobachten. Im Zeitraum der WZE-Aufnahmen (Juli-August) wiesen jedoch etwa 20 Prozent der Kiefer eine Verbraunung von Nadeln auf, was auf die anhaltende Trockenheit im

Sommer zurückzuführen ist. Aufgrund der Trockenschäden seit 2019 zeigen die Kiefern eine schütterere Benadelung und Nadeljahrgänge älter als zwei Jahre fehlen oft vollständig. Außerdem besteht weiterhin eine zusätzliche Vitalitätsschwächung von etwa 7 Prozent der Kiefern durch den Befall von Misteln (*Viscum album* L.).

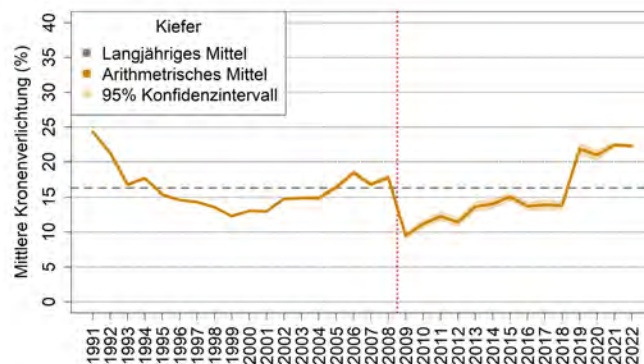


Abb. 5: Kiefer – Mittlere Kronenverlichtung in Prozent. Die rote Linie markiert eine Messnetzumstellung

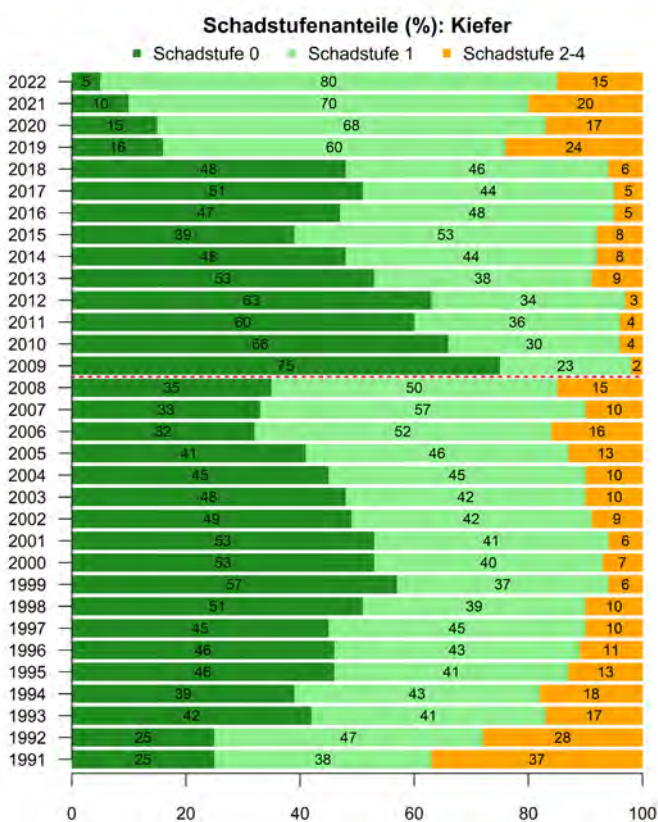


Abb. 6: Kiefer – Schadstufen in Prozent. Die rote Linie markiert eine Messnetzumstellung

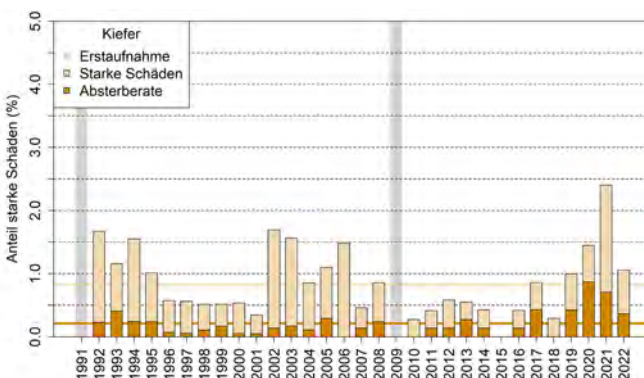


Abb. 7: Kiefer – Anteil starker Schäden (NBV >60 Prozent) und jährliche Absterberate (die durchgezogenen Linien markieren das langjährige Mittel)

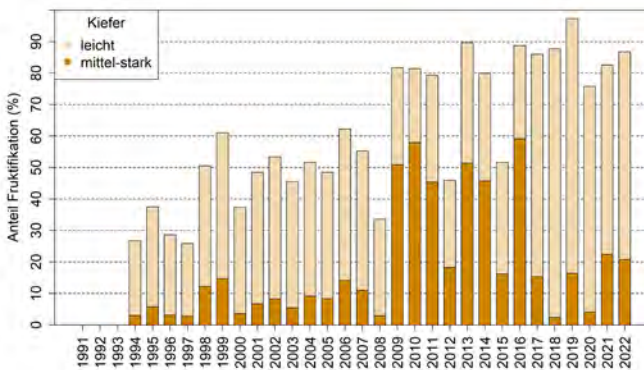


Abb. 8: Kiefer – Anteil an leicht und mittel-starken Fruchtbehang





## BUCHE

Die Buche zeigte von 2012 bis 2018 einen sehr guten Belaubungs-  
zustand. Im Jahr 2019 erhöhte sich die mittlere Kronenverlichtung  
sprunghaft um 20 Prozentpunkte, was auch den Erhebungen in  
anderen Bundesländern entsprach. Eine ähnliche Entwicklung  
konnte im Jahr 2004 in Folge der Sommertrockenheit im Vor-  
jahr beobachtet werden, jedoch in deutlich geringerem Ausmaß.  
Diese, für die Buche typische, verzögerte Trockenstressreaktion  
ist oftmals begleitet von einer erhöhten Fruktifikation. Nachdem  
62 Prozent aller Buchen im Jahr 2019 deutliche Schäden zeigten,  
verbesserte sich der Kronenzustand im Jahr 2020 und 2021 mit  
ausbleibender Fruktifikation. Allerdings wiesen in diesen Jahren  
weiterhin 40 Prozent der Buchen deutliche Schäden auf.

Im Jahr 2022 hat sich der Kronenzustand der Buche erneut merk-  
lich verschlechtert und über die Hälfte der untersuchten Buchen  
weisen deutliche Schäden auf. Über 50 Prozent der Buchen zeigen  
mit einer erneuten Mast einen mittleren bis starken Fruchtbehang.  
Die mittlere Kronenverlichtung ist mit knapp 30 Prozent weiterhin  
auf einem Rekordhoch.

Besonders auffällig ist das Absterben der Oberkrone, insbesondere  
bei Altbuchen. Im Jahr 2021 wurde bei knapp 50 Prozent aller  
untersuchter Buchen Trockenreisig festgestellt. Das beobachtete  
Schadbild entsprach der Buchen-Vitalitätsschwäche, die im Zu-  
sammenspiel mit einigen Pilzarten zum Absterben der Bäume füh-  
ren kann (LANGER, 2019; LANGER et al., 2020). In Brandenburg sind  
nach wie vor keine Buchen aus der WZE-Stichprobe abgestorben,  
jedoch wurden bei knapp 2 Prozent starke Schäden festgestellt.

Da sich der Absterbeprozess der Buche auch über Jahre hinziehen  
kann (LEUSCHNER, 2020), bleibt abzuwarten, ob sich die geschä-  
digten Buchenbestände wieder erholen.

Im Jahr 2022 wurde an knapp 40 Prozent der untersuchten Bu-  
chenkronen Trockenreisig festgestellt und knapp 15 Prozent  
hatten starke Totäste (>10 cm). Des Weiteren wurden an den  
Bäumen verschiedene Trockenstressreaktionen (Blattvergilbung,  
Blattrollen und Krallenbildung) in unterschiedlicher Intensität ob-  
serviert.

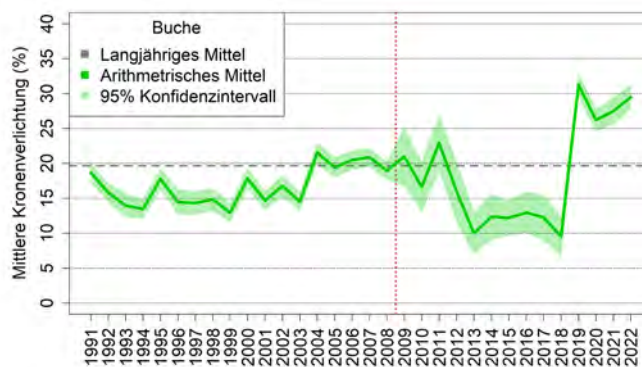


Abb. 9: Buche – Mittlere Kronenverlichtung in Prozent. Die rote Linie markiert eine Mess-  
netzumstellung

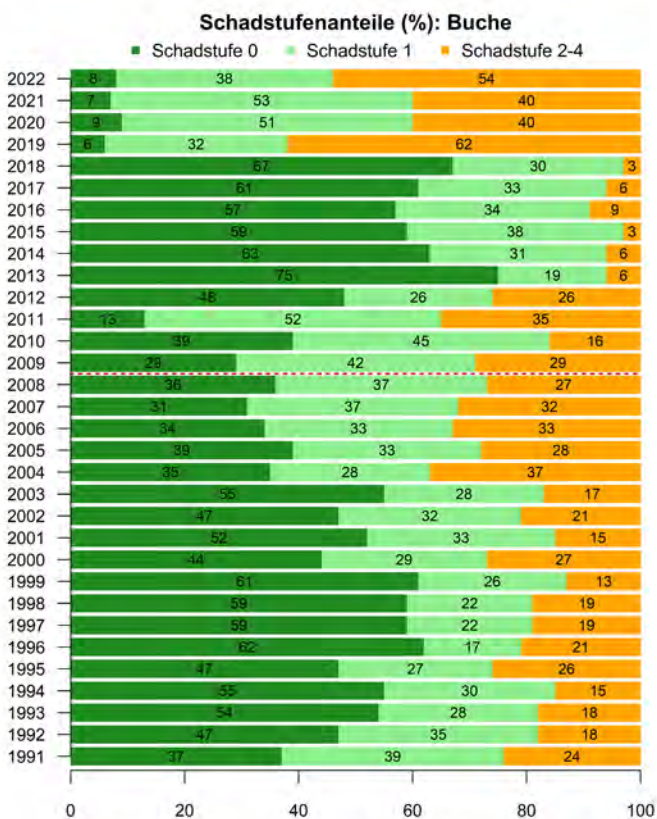


Abb. 10: Buche – Schadstufen in Prozent. Die rote Linie markiert eine Messnetzumstellung

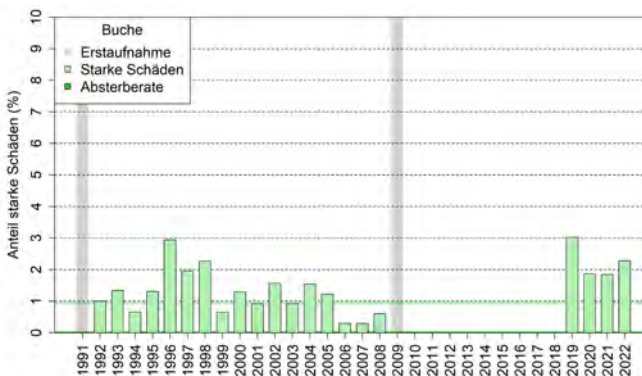


Abb. 11: Buche – Anteil starker Schäden (NBV >60 Prozent) und jährliche Absterberate  
(die durchgezogenen Linien markieren das langjährige Mittel)

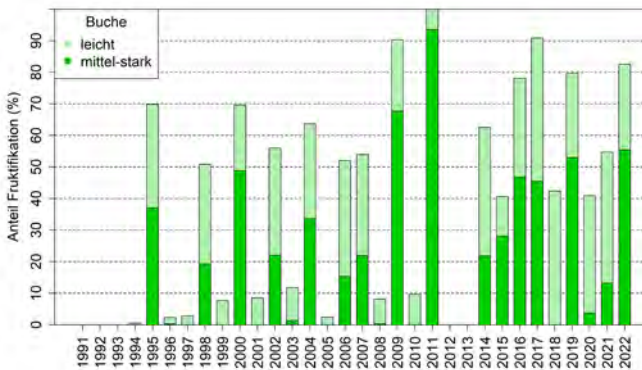


Abb. 12: Buche – Anteil an leicht und mittel-starkem Fruchtbehang



## EICHE

Der Kronenzustand der Eiche hat sich im Vergleich zum Vorjahr ebenso wie bei der Buche wieder verschlechtert. Die mittlere Kronenverlichtung beträgt 30 Prozent. Dieses entspricht dem zweitschlechtesten Ergebnis seit Beginn der Beobachtungen im Jahr 1991. Jede zweite untersuchte Eiche zeigt deutliche Schäden. Der Anteil an starken Schäden ist ebenfalls erneut gestiegen und liegt mit knapp 4 Prozent deutlich über dem langjährigen Mittel. Ein Absterben von Probestämmen wurde in diesem Jahr nicht beobachtet. Über 20 Prozent der Eichen hatten einen mittleren bis starken Fruchtbehang.

In den Jahren 2004, 2012 und 2019 wurden extreme Vitalitätseinbrüche der Eiche beobachtet. Im Jahr 2012 war dies auf starken Insektenfraß (vor allem Frostspanner) zurückzuführen. In den beiden anderen Jahren war hierfür maßgeblich eine extreme Trockenheit in den jeweiligen Vorjahren verantwortlich. Seit dem Trockenjahr 2018 haben sich die Witterungsbedingungen nicht wesentlich verändert. Im Jahr 2022 war es vor allen die spätsommerliche Trockenheit, die den Waldbäumen zusetzte.

Etwa 35 Prozent der Probestämme weisen Trockenreisig auf, und 15 Prozent der Eichen tragen starke Totäste (> 10 cm). Ähnlich wie bei der Buche zeigen sich vermehrt irreversible Strukturschäden der Baumkronen in Folge der anhaltenden Trockenheit. Anders als bei der Buche, wo es zu der sogenannten Zopftrocknis kommen kann und die gesamte Oberkrone abstirbt, zeigt die Eiche ein Absterben einzelner Kronenpartien. Verbleibende Kronenteile können z. T. auch besser belaubt sein. Mit der Ausbildung sogenannter Wasserreiser können verbliebene Haupttriebe wie von

Efeu bewachsen aussehen. So versucht der Baum das verfügbare Licht auf den Haupttrieben auszunutzen und den massiven Blattverlust aufgrund der Kronenschäden zu kompensieren. Bezogen auf das Kronenvolumen einer gesunden Eiche ist jedoch festzustellen, dass ein substantieller Teil der für die Photosynthese zur Verfügung stehenden Blattmasse fehlt. Des Weiteren zeigen ca. 45 Prozent der Eichen eine Verbraunung oder Vergilbung von Blättern. Entsprechend reduziert sich der Anteil der photosynthetisch aktiven Blattmasse zumindest gegen Ende der Vegetationsperiode. Auch damit zeigt sich die Wechselwirkung zwischen Wassermangel und Kohlenstoffbindung bei Waldbäumen (vgl. McDowell, 2011).

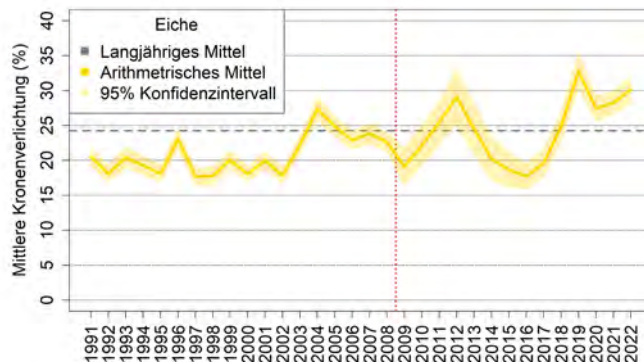


Abb. 13: Eiche – Mittlere Kronenverlichtung in Prozent. Die rote Linie markiert eine Messnetzumstellung

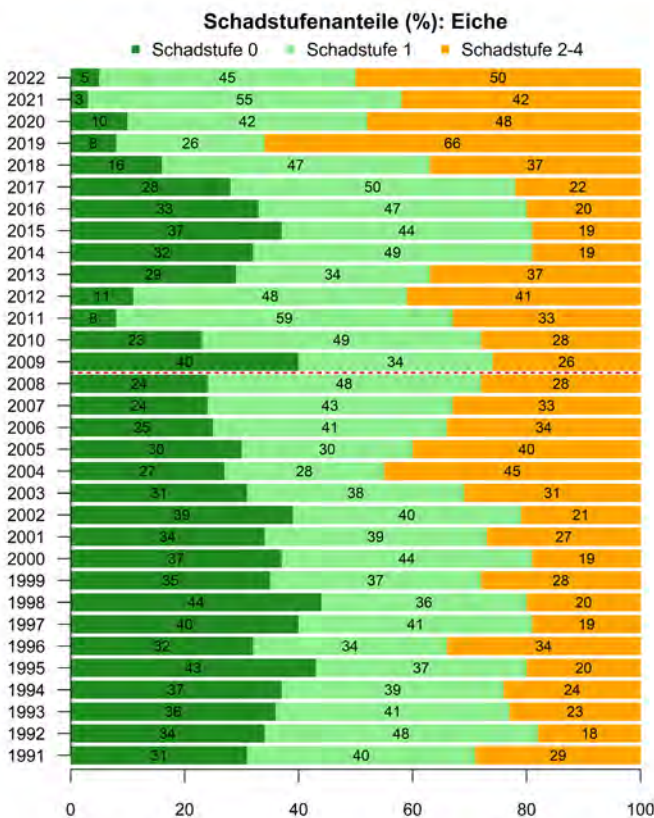


Abb. 14: Eiche – Schadstufen in Prozent. Die rote Linie markiert eine Messnetzumstellung

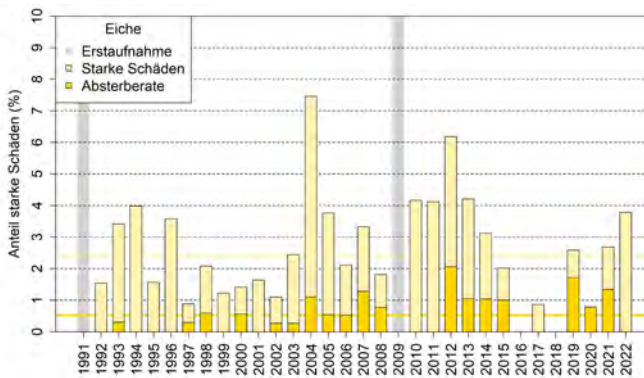


Abb. 15: Eiche – Anteil starker Schäden (NBV >60 Prozent) und jährliche Absterberate (die durchgezogenen Linien markieren das langjährige Mittel)

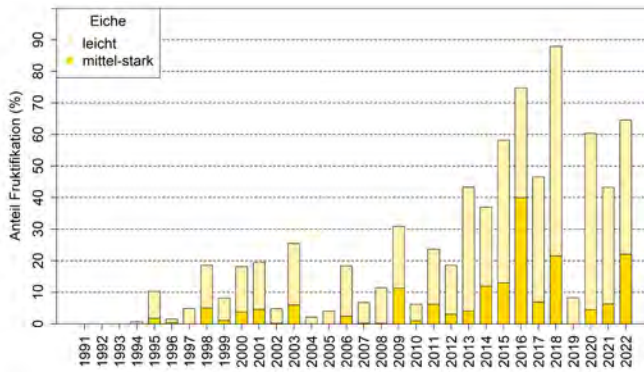


Abb. 16: Eiche – Anteil an leicht und mittel-starkem Fruchtbehang



## SONSTIGES LAUBHOLZ

Der Kronenzustand der sonstigen Laubbäume hat sich im Vergleich zum Vorjahr nur geringfügig verändert. Die mittlere Kronenverlichtung beträgt 25 Prozent. Der Anteil an deutlichen Schäden hat sich um 2 %-Punkte auf 24 Prozent erhöht, während der Anteil an starken Schäden um 4 %-Punkte auf 6 Prozent gesunken ist. Die jährliche Absterberate ist deutlich zurückgegangen und entspricht in etwa dem langjährigen Mittel.

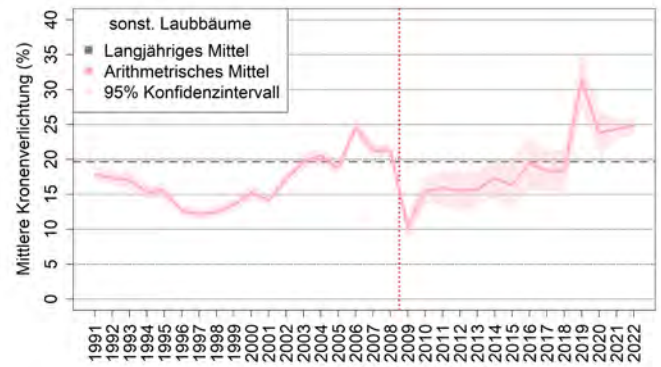


Abb. 17: Sonstige Laubbäume – Mittlere Kronenverlichtung in Prozent. Die rote Linie markiert eine Messnetzumstellung

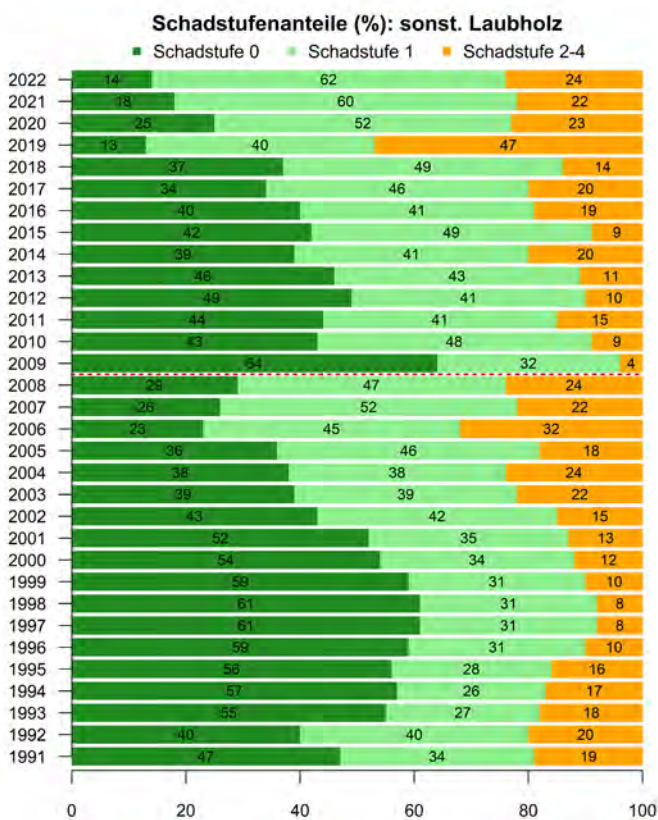


Abb. 18: Sonstige Laubbäume – Schadstufen in Prozent Kiefer. Die rote Linie markiert eine Messnetzumstellung

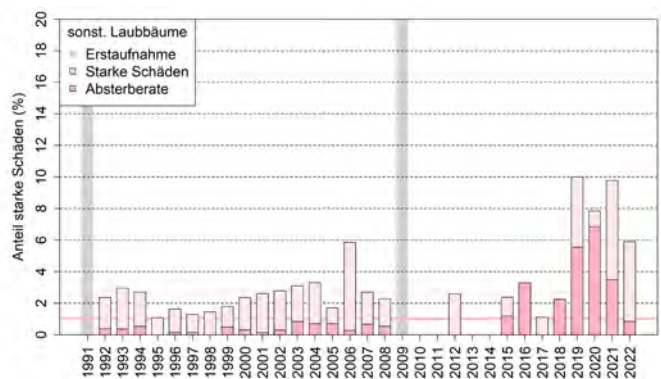


Abb. 19: Sonstige Laubbäume – Anteil starker Schäden (NBV >60 Prozent) und jährliche Absterberate (die durchgezogenen Linien markieren das langjährige Mittel)

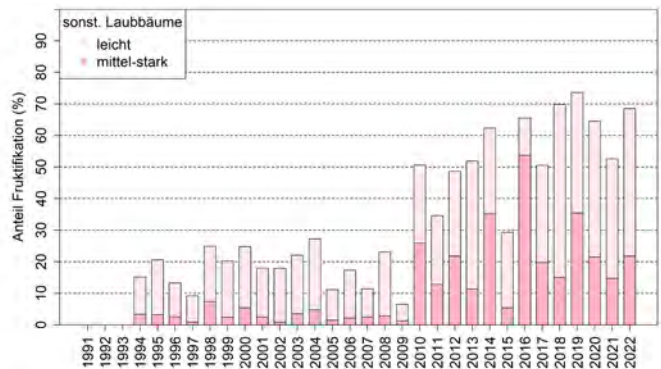


Abb. 20: Sonstige Laubbäume – Anteil an leicht und mittel-starkem Fruchtbehang



## SONSTIGES NADELHOLZ

Seit der Netzverdichtung im Jahr 2021 können die sonstigen Nadelbäume wieder im Rahmen der WZE beurteilt werden. Die Aussagekraft für die mittlere Kronenverlichtung unterliegt aber weiterhin einer relativ hohen Unsicherheit. Im Einzelnen ergab sich eine mittlere Kronenverlichtung von 36 Prozent für Fichte, 27 Prozent für Douglasie, 26 Prozent für Lärche und 20 Prozent für Strobe. Der Anteil an deutlichen Schäden hat sich mehr als verdoppelt und liegt aktuell bei 44 Prozent.

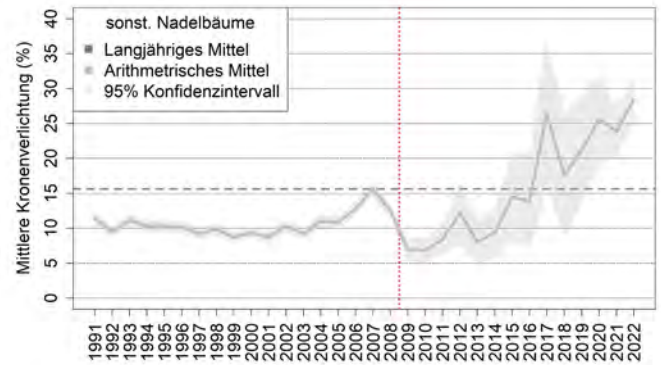


Abb. 21: Sonstige Nadelbäume – Mittlere Kronenverlichtung in Prozent. Die rote Linie markiert eine Messnetzumstellung

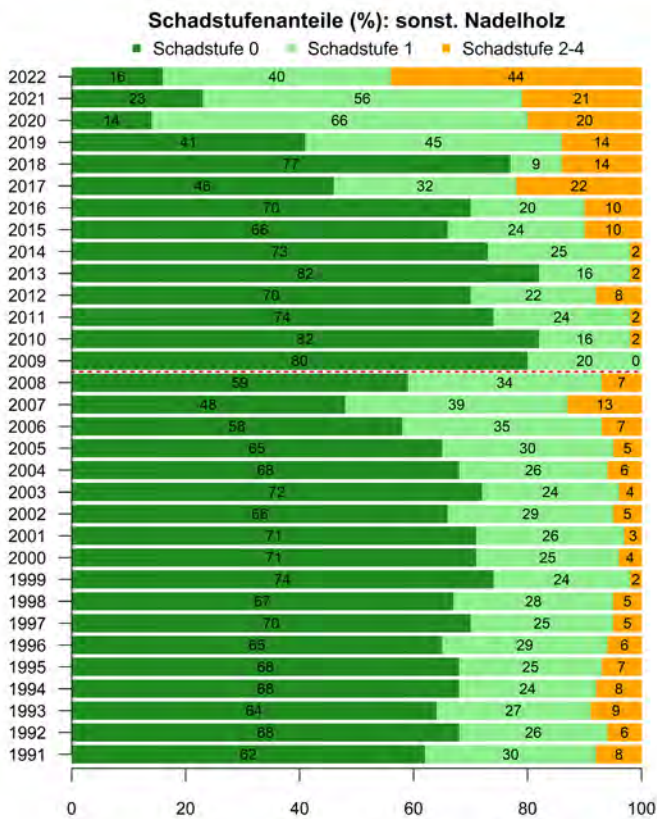


Abb. 22: Sonstige Nadelbäume – Schadstufen in Prozent Kiefer. Die rote Linie markiert eine Messnetzumstellung

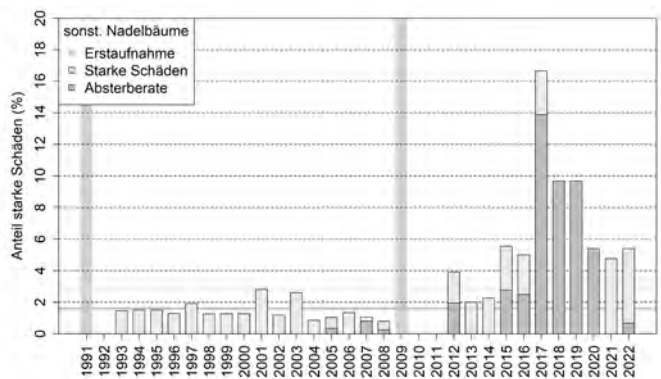


Abb. 23: Sonstige Nadelbäume – Anteil starker Schäden (NBV > 60 Prozent) und jährliche Absterberate (die durchgezogenen Linien markieren das langjährige Mittel)

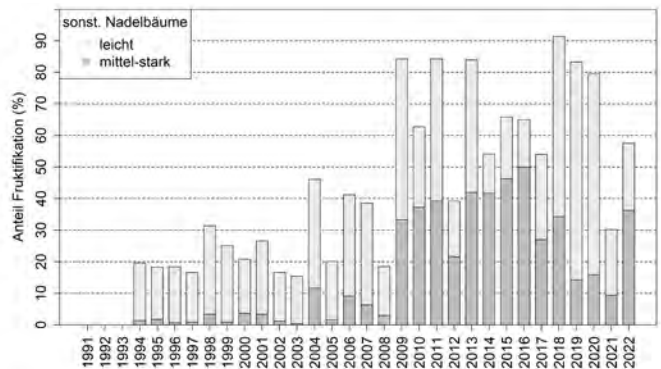


Abb. 24: Sonstige Nadelbäume – Anteil an leicht und mittel-starkem Fruchtbehang

# Witterung

Im Rahmen des forstlichen Umweltmonitorings werden an verschiedenen Dauerbeobachtungsflächen im Level-II Programm meteorologische Messstationen betrieben und Witterungsbedingungen kontinuierlich aufgezeichnet. In Kombination zu den Waldklimastationen sind in der näheren Umgebung (max. 2 km entfernt) entsprechende Freilandklimastationen eingerichtet, die die Witterungsbedingungen ohne den direkten Einfluss der Bestandesstruktur erheben.

Die Witterungsbedingungen der letzten beiden Jahre werden durch die monatlichen Niederschlags- und Temperaturabweichungen charakterisiert. Als klimatische Referenzperiode dient der Zeitraum von Anfang der Beobachtungsreihe bis zum vorletzten Jahr.

Das Jahr 2022 begann mit einem viel zu warmen Januar und Februar (+3 °C über dem langjährigen Monatsmittel). Ab März zeigte sich ein zumeist deutlich unterdurchschnittliches Niederschlagsaufkommen. Erst im August kam es zu einigen Starkregenereignissen die jedoch kleinräumig verteilt auftraten. Beispielhaft für die Dauerbeobachtungsfläche Natteheide (Abb. 25), aber auch für die anderen Messstationen zutreffend (siehe Anhang), traten in der Vegetationsperiode 2022 (erneut) überdurchschnittlich Temperaturen und unterdurchschnittliche Niederschlagsmengen auf.

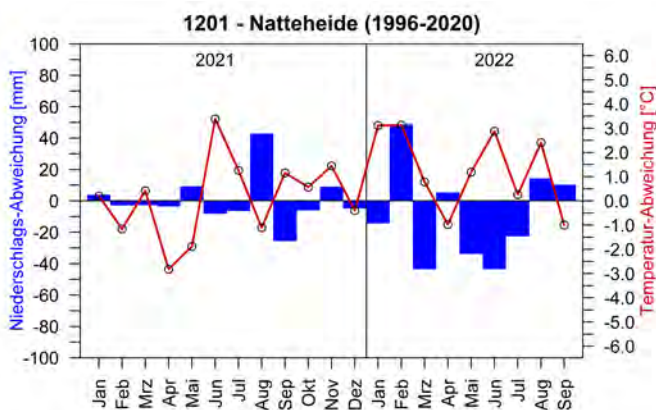


Abb. 25: Monatliche Niederschlags- und Temperaturabweichungen vom langjährigen Mittel (1996 bis 2020) an der Level-II-Fläche Natteheide

Zur Einschätzung der Wasserversorgung der Wälder wird die kumulative klimatische Wasserbilanz als Differenz aus den täglichen Niederschlagsmengen und der Gras-Referenzverdunstung nach Penman-Monteith (ALLEN et al., 1998) berechnet. Das langjährige Mittel bezieht sich auf die Referenzperiode vom Beginn der Messungen im Jahr 1996 bis zum Vorjahr. Das 68%-Quantil gibt die Grenzen der Standardabweichung vom langjährigem Mittel an.

Wie sich anhand der Witterungsanomalien bereits abzeichnete, fiel die klimatische Wasserbilanz im Laufe der Vegetationsperiode kontinuierlich in den negativen Bereich. In Natteheide wurden ab Mitte Juli sogar neue Tiefstwerte erreicht (Abb. 26). Gegen Ende der Vegetationszeit ergab sich je nach Messstation ein rechnerisches Wasserdefizit von 200 bis 300 Liter pro Quadratmeter (s. Anhang).

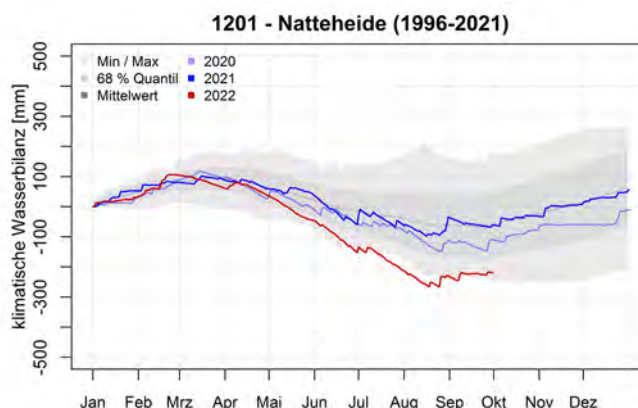


Abb. 26: Klimatische Wasserbilanz der letzten drei Jahre und als langjähriges Mittel (1996 bis 2021) an der Level-II-Fläche Natteheide

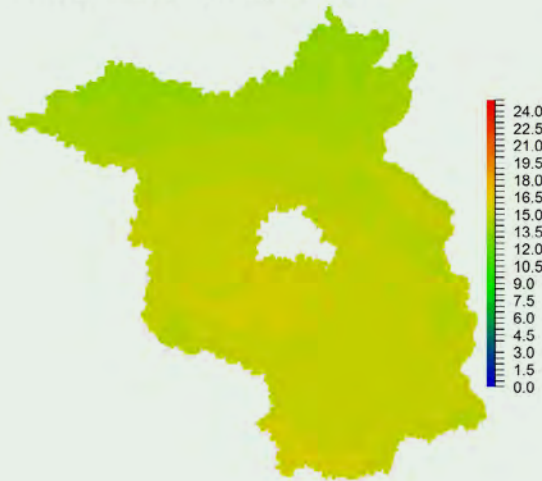
Neben den gemessenen meteorologischen Kennwerten des Level II Programms wurden Messwerte des Deutschen Wetterdienstes herangezogen, regionalisiert und für Brandenburg darstellt. Auch wenn es sich um modellierte Werte handelt, und insbesondere die Vorhersage von Niederschlagsereignissen größeren Unsicherheiten unterliegt, ermöglichen sie eine regionale Zuordnung der aktuellen und historischen Witterungsbedingungen. Um die Witterungsbedingungen der diesjährigen Vegetationsperiode zu beschreiben, wurden die Monatswerte für Temperatur und Niederschlag von Mai bis August dargestellt. Um die Wasserverfügbarkeit der Waldbäume zu beschreiben, wurde die klimatische Wasserbilanz der Vegetationsperiode der letzten vier Jahre dargestellt.

Als Grundlage für die Klimaregionalisierung dienen die frei verfügbaren, meteorologischen Messwerte des Deutschen Wetterdienstes (DWD CLIMATE DATA CENTER (CDC), 2018). Mit Hilfe der beiden R-Pakete „KSPclimreg“ und „KSPclimpredict“, lassen sich DWD-Daten automatisiert herunterladen und regionalisieren (SCHMIDT-WALTER, 2018; SCHMIDT-WALTER, 2019). Für die Regionalisierung wurde ein 1x1 km Raster zugrunde gelegt. Als Methode für die räumliche Interpolation haben sich für Niederschlag und Sonnenscheindauer das „Universal Kriging“, für alle anderen Klimakennwerte die Nutzung von generalisierten additiven Modellen (WOOD, 2017) mit Koordinaten und Seehöhe als Eingangsvariablen bewährt (KÖHLER et al., 2015).

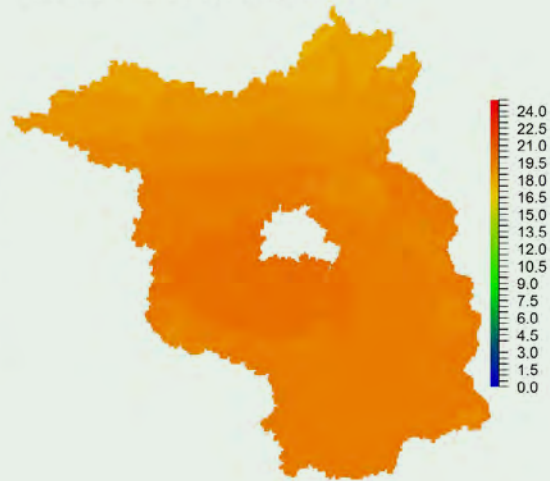
Der Mai 2022 zeigte sich noch mit relativ moderaten mittleren Tagestemperaturen zwischen ca. 15 °C bis 16 °C. Ab Juni wurden bereits mittlere Monatswerte von 20 °C erreicht, die im Juli etwa gleichblieben und im August um weitere 1-2 °C anstiegen.

Die Niederschlagsverteilung zeigt, dass in einigen Regionen Brandenburgs während eines langen warmen Sommers wochenlang nahezu kein Regen in nennenswerten Ausmaßen gefallen ist. Während im Mai und Juni der Norden besonders trocken war, fielen im Juli im Süden die Niederschläge nahezu gänzlich aus. Erst im August kam es regional zu höheren Niederschlägen. Trocken blieb es hingegen auch im August in größeren Bereichen der Prignitz, Potsdam-Mittelmark, Teltow-Fläming und Elbe-Elster.

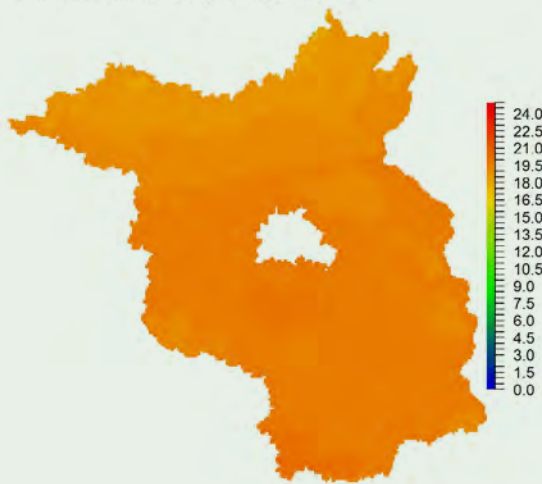
Mai 2022 - Mittlere Tagestemperatur in °C



Juni 2022 - Mittlere Tagestemperatur in °C



Juli 2022 - Mittlere Tagestemperatur in °C



August 2022 - Mittlere Tagestemperatur in °C

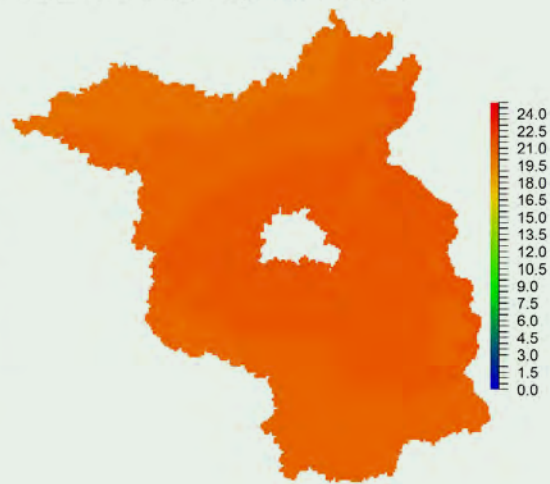
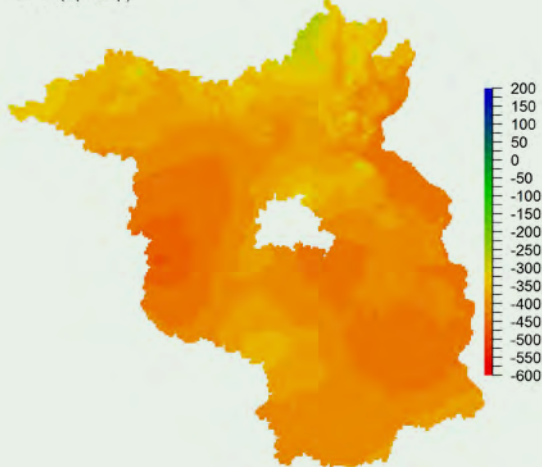
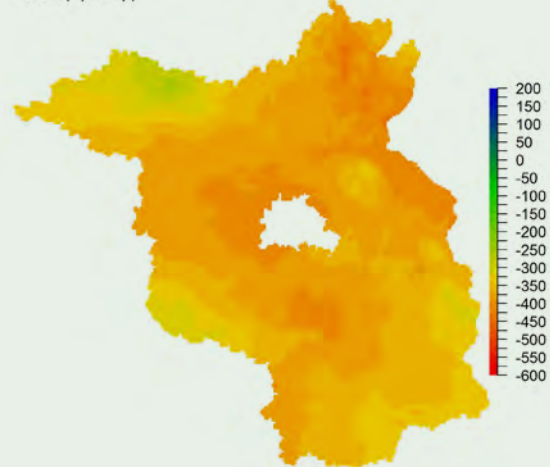


Abb. 27: Regionalisierte Monatsmittel der mittleren Lufttemperatur in °C

Klimatische Wasserbilanz [mm]  
2019 (Apr-Sep)

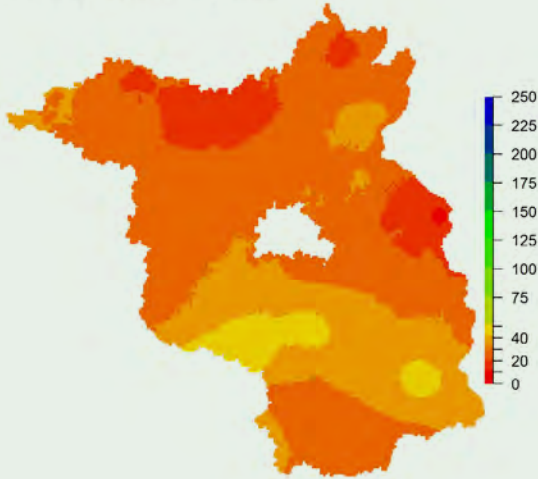


Klimatische Wasserbilanz [mm]  
2020 (Apr-Sep)

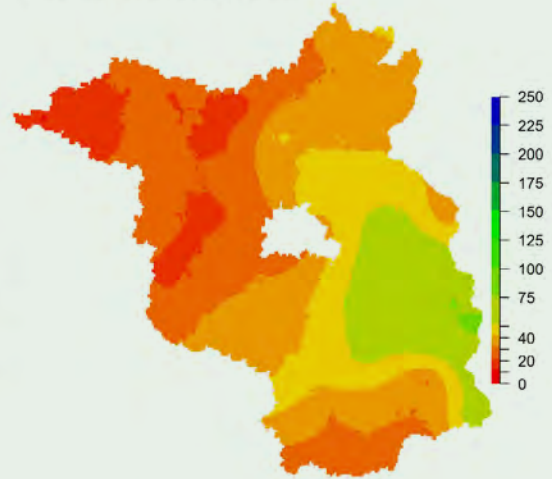




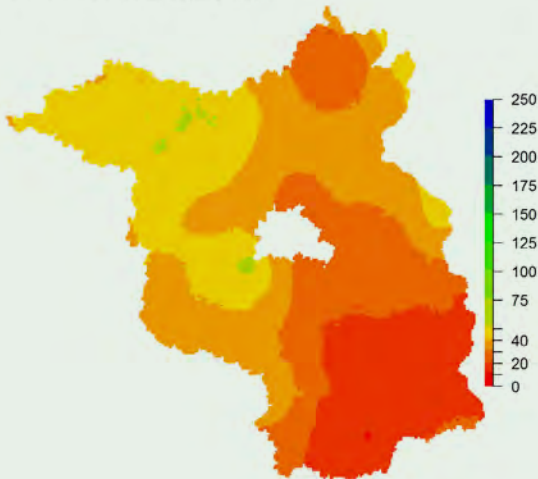
Mai 2022 - Niederschlag in mm



Juni 2022 - Niederschlag in mm



Juli 2022 - Niederschlag in mm



August 2022 - Niederschlag in mm

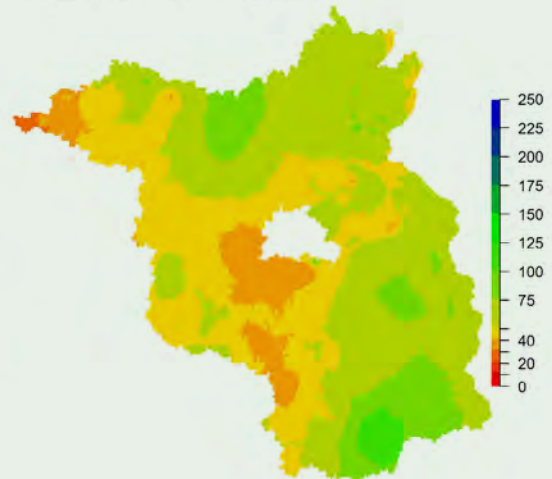
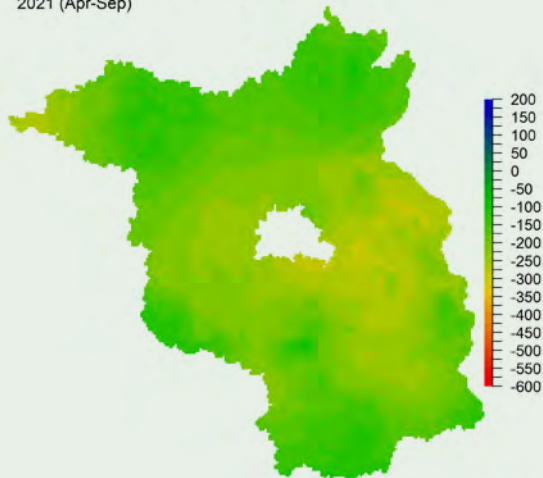


Abb. 28: Regionalisierte Monatssumme des Niederschlags in mm

Klimatische Wasserbilanz [mm]  
2021 (Apr-Sep)



Klimatische Wasserbilanz [mm]  
2022 (Apr-Sep)

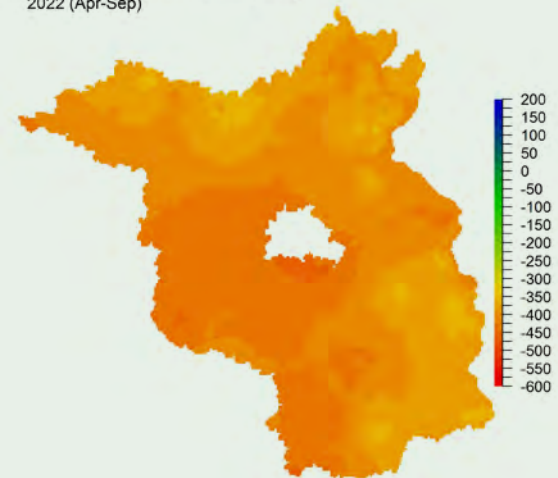


Abb. 29: Regionalisierte, klimatische Wasserbilanz der letzten vier Jahre in mm

# Waldschutz

2022 haben abiotische Einflussfaktoren die Waldschutzsituation besonders geprägt. 501 Waldbrände, die eine Waldfläche von 1.411 ha betrafen (Stand 21.09.2022) (Abb. 30), sowie fast eine Million Festmeter Schadholz nach den Winterstürmen Ylenia, Zeynep und Antonia entsprechen Ausnahmewerten. Wie in den Vorjahren bestimmten weiterhin komplexe Schadereignisse - nicht nur bei Kiefer, Eiche und Buche - das Geschehen. Das Zusammenspiel zahlreicher Einflussfaktoren, wie die seit 2018 anhaltende

Trockenheit, ein nur allmähliches Absinken der hohen Populationsdichten bei holz- und rindenbrütenden Käferarten sowie die weiterhin häufige Beteiligung pilzlicher Schaderreger, beeinflusst die Vitalität der Hauptbaumarten anhaltend negativ (Tab. 3). Die weiterhin fehlende oder eingeschränkte Erholung nach mehreren Dürrejahren ist eine Ursache von Absterbeerscheinungen bei fast allen Baumarten. Positiv ist, dass nur sehr geringe Schäden durch Spätfröste an jungen Bäumen auftraten (Abb. 31).

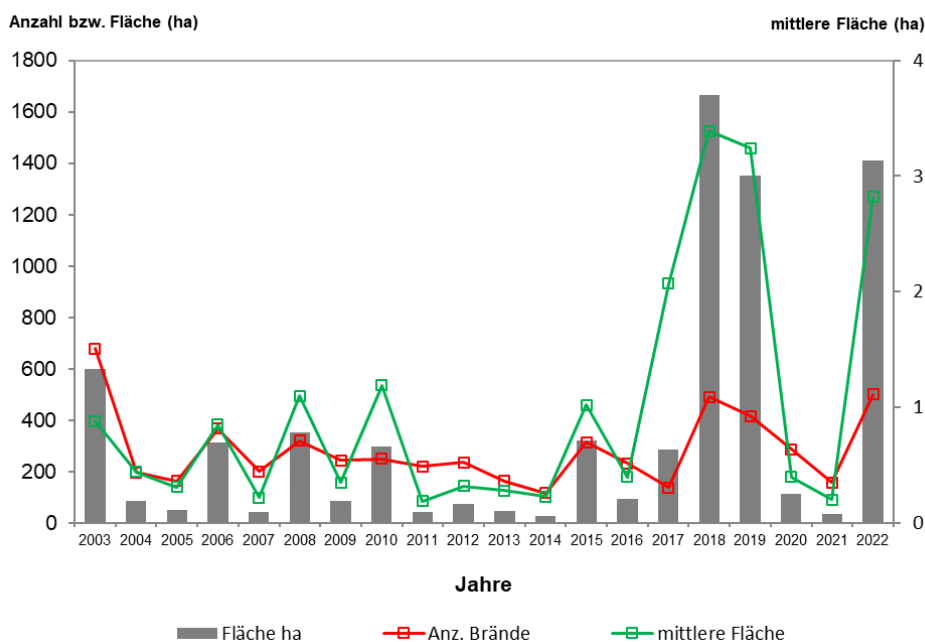


Abb. 30: Anzahl und Fläche der Waldbrände im Land Brandenburg in den vergangenen 20 Jahren (Stand 21.09.2022)

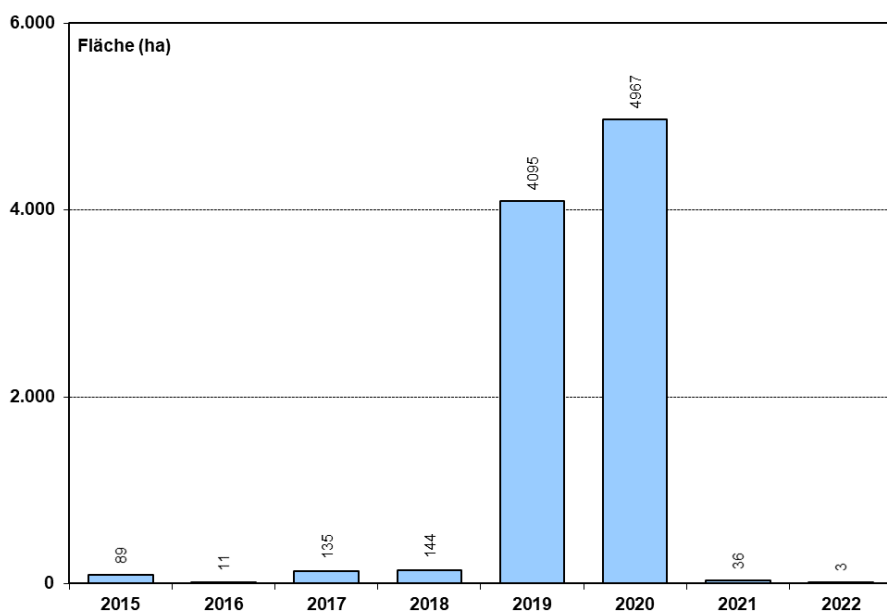


Abb. 31: Schäden durch Spätfröste an Jungwüchsen (2015-2022)

Tab. 3: Schadumfang ausgewählter Einflussfaktoren (Monatlicher Meldedienst im LFB, Stand August 2022)

		2018	2019	2020	2021	2022
<b>Abiotische Schäden</b> (Stand: August 2022)						
Bruch- und Wurfholz durch Sturm	m <sup>3</sup>	313.924	38.548	21.762	38.858	943.152
Dürreschäden	ha	2.814	3.033	1.042	598	1.030
Frostschäden	ha	144	4.136	4.967	36	3
<b>Rindenbrütende Käferarten</b> (Käferjahr)						
Buchdrucker	m <sup>3</sup>	27.585	223.560	297.598	126.891	80.120
Blaue Kiefernprachtkäfer	m <sup>3</sup>	7.400	65.249	136.905	132.547	79.145
Lärchenborkenkäfer	m <sup>3</sup>	439	9.227	26.440	19.785	10.062
<b>Nadelfresser an Kiefer</b> (Frühjahrsfraß)						
Kiefernspinner, merklich	ha	256	10	0	0	161
Kiefernspinner, stark	ha	250	0	0	0	0
Kiefernspinner, kahl	ha	0	0	0	0	0
<b>Blattfresser an Eiche</b> (Fraß, z. B. Eichenprozessionsspinner, Frostspanner)						
leichter Fraß	ha	604	376	230	133	104
merklicher Fraß	ha	114	204	91	27	12
starker Fraß	ha	32	17	29	4	1
Kahlfraß	ha	0	4	5	0	0
<b>Pilzliche Pathogene</b>						
Kiefernschütte in Kulturen	ha	127	7	24	29	20
Kiefernschütte in Naturverjüngungen	ha	261	50	19	17	12
Kiefern-rindenblasenrost (Kienzopf)	m <sup>3</sup>	4.555	3.044	3.408	2.400	4.571
Douglasienschütte	ha	127	26	9	3	12
<b>Komplexkrankheiten</b> (Stand: August 2022)						
Buchen-Rindennekrose	m <sup>3</sup>	95	215	595	545	505
Eichensterben	m <sup>3</sup>	2.090	7.098	23.353	18.368	10.414



Abb. 32: Raupen des Kiefernprozessionsspinners





Neben einer Vielzahl wirtsbaumspezifischer Borkenkäferarten (z. B. Zwölfzähliger Kiefernborkekäfer, Kleiner Buchenborkekäfer, Lärchenborkekäfer oder Buchdrucker) sind zunehmend Prachtkäfer am Schadgeschehen beteiligt. An absterbenden Eichen wird auch der Eichenkernkäfer (*Platypus cylindrus*) auffälliger. Durch die Stürme neu angefallenes, für Borkenkäfer bruttaugliches Material sollte schnellstmöglich aus den Beständen geräumt werden, da die Gefahr erneut ansteigender Populationsdichten sehr hoch ist.

Wie in den Vorjahren sind als wichtige pilzliche Schadfaktoren im komplexen Schadgeschehen in den Kiefernforsten das Diplodia-Triebsterben (Erreger: *Sphaeropsis sapinea*) und für die Rot-Buche rindenbesiedelnde und -zerstörende Pilze wie der Münzenförmige Rindenkugelpilz (*Biscogniauxia nummularia*) und der Spaltblätling (*Schizophyllum commune*) zu nennen. Bei der Eiche bleiben pilzliche Schaderreger weiter im Hintergrund. Das Auftreten der Ahorn-Rußrindkrankheit (*Cryptostroma corticale*) wurde lokal auch 2022 gemeldet.

Die für Brandenburg typischen Bestandesschädlinge von Kiefer,

Trauben- und Stiel-Eiche, also deren nadel- bzw. blattfressende Larven, haben wie auch in den Vorjahren 2022 nur lokal auffällige Blattmasseverluste verursacht. Das betrifft sowohl Eichenprozessionsspinner (*Thaumetopoea processionea*) als auch Eichenfrühjahrsfraßgemeinschaft (mit u. a. Frostspannern). Kleinflächig kam es im Fläming erneut zu merklichen Nadelverlusten durch Kiefernspinner-Raupen (*Dendrolimus pini*). Die nachgewiesene hohe Parasitierungsrate der Puppen im Spätsommer reduziert die Gefährdung der Bestände aber deutlich. Hervorzuheben ist das weitere lokale Auftreten der Kleinen Dunklen Kiefernbuschhornblattwespe (*Gilpinia frutetorum*) im äußersten Nordwesten Brandenburgs, das 2021 teilweise starke Fraßschäden verursacht hat (MÜLLER et al., 2022). Larven- und Puppenparasitoide haben den Populationsanstieg aber auch bei dieser Art deutlich gebremst. Im Herbst 2022 wurde trotzdem nochmals merklicher Fraß registriert. Das Befallsgebiet umfasst auch benachbarte Flächen in Mecklenburg-Vorpommern. Lokal auffällig ist der Kiefernprozessionsspinner (*Thaumetopoea pinivora*) (Abb. 32). Hier sind aber weniger die Nadelverluste an den Kiefern, sondern die Gefährdung der menschlichen Gesundheit das Problem. 2022 waren erstmals Feuerwehrleute bei einem Löscheinsatz von allergischen Reaktionen betroffen.

# Waldbrand

Die Verteilung der Waldbrände im Jahresverlauf widerspiegelt auch 2022 einen Einfluss der Witterungsverhältnisse (Abb. 33). Von Mai an war es über den ganzen Sommer hinweg fast immer überdurchschnittlich warm und trocken. Die Waldbrände waren im ganzen Land verteilt (Abb. 34). Die bedeutendsten Waldbrandursachen sind erneut Brandstiftung und Fahrlässigkeit (Abb. 35). Dabei muss der Anteil nicht aufgeklärter Ursachen mit betrachtet werden. Die flächenmäßig größten Waldbrände gab es in den Oberförstereien Dippmannsdorf (Revier Treuenbrietzen: 173 ha am 17.06.2022), Potsdam (Revier Beelitz: 233 ha am 19.06.2022) und Herzberg (Revier Uebigau: 316 ha am 23.06.2022 und Revier Falkenberg: 422 ha am 25.07.2022). Die Statistik belegt, dass bei ca. 78 Prozent der Waldbrände bereits spätestens 20 min nach Erkennung der Löschbeginn erfolgte. Einen wesentlichen Anteil hat hierbei die gut funktionierende und flächendeckende Waldbrandüberwachung. Das Ausmaß der Schäden wird aber auch von der Witterung (Trockenheit und böiger, starker Wind), vom Umfang brennbaren Materials auf der Fläche sowie von Einschränkungen bei den Löscharbeiten durch Munitionsbelastung oder eine erschwerte Erreichbarkeit der Brandflächen beeinflusst.

Die Waldbrände 2022 werden zusammen mit dem Ministerium des Innern und für Kommunales ausgewertet. Im Ergebnis werden eine Reihe von Maßnahmen diskutiert und festgelegt, die sowohl die Waldbrandprävention als auch die Waldbrandbekämpfung verbessern sollen. Der Waldumbau und die Anlage von Waldbrandschutzriegeln um gefährdete Infrastruktur stehen dabei besonders im Fokus.

Neben diesen Maßnahmen ist vor allem die Wiederbewaldung der großen Schadflächen erforderlich. Das Landeskompetenzzentrum Forst Eberswalde erarbeitet dazu Empfehlungen für den Umgang mit diesen Schadflächen.

- unbekannte Ursachen, übrige Ursachen
- vorsätzliche Brandstiftung, übrige Ursachen
- nicht aufgeklärte Zündungen, andere Personen
- Blitzschlag, übrige Ursachen
- offene Feuer, andere Personen
- Rest

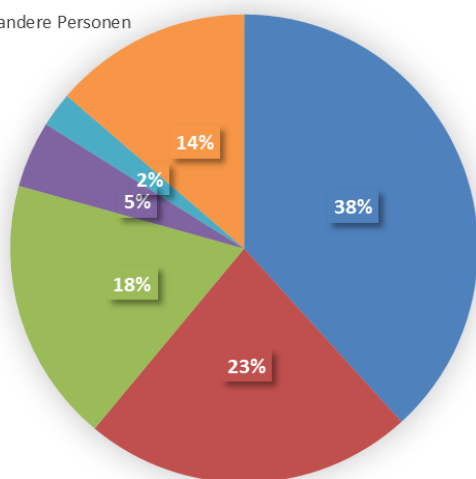


Abb. 35: Ursachenverteilung der Waldbrände 2022 im Land Brandenburg (Stand 24.10.2022)

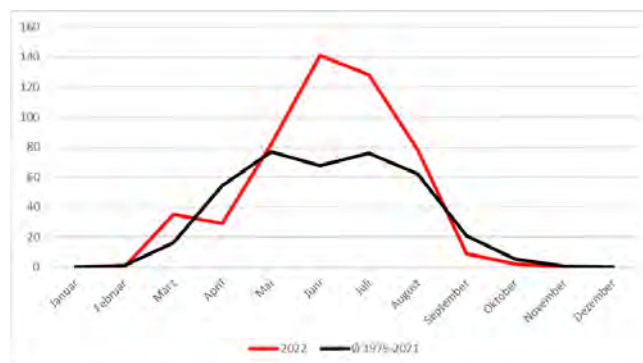


Abb. 33: Verteilung der Waldbrände 2022 im Land Brandenburg im Jahresverlauf, im Vergleich zum Durchschnitt der Jahre 1975-2021 (Stand 24.10.2022)



Abb. 34: Verteilung der Waldbrände 2022 im Land Brandenburg (Ansicht der Web-Anwendung Waldbranddaten-Erfassung des LFB, Stand 24.10.2022)



# Monitoring zum Eschentriebsterben

In dem aktuellen Verfahren der bundesweiten Waldzustandserfassung sind Nebenbaumarten unterrepräsentiert, da sie aufgrund ihrer geringen Häufigkeit nur selten an den Rasterpunkten vorkommen. Für diese Baumarten müssen gesonderte Aufnahmeverfahren entwickelt werden, die an die Vorkommensgebiete abseits der Rasterpunkte und an den spezifischen Eigenschaften dieser Baumarten ausgerichtet sind. Beispielhaft wurde ein solches Monitoringprogramm für die Gemeine Esche (*Fraxinus excelsior*) entwickelt. Auslöser hierfür war das Eschentriebsterben (ETS), das sich in ganz Deutschland sowie in weiten Teilen Europas flächendeckend ausgebreitet hat. Ursache für Erkrankung ist das Eschenstengelbecherchen (*Hymenoscyphus fraxineus*, Nebenfruchtform: *Chalara fraxinea*), ein Pilz der im Jahre 2002 erstmals in Deutschland nachgewiesen wurde (Abb. 36). Seitdem sterben Eschen einzeln und gruppenweise in kurzer Zeit ab (Abb. 37).

Bis 2020 fehlte es jedoch an einem bundesweiten Monitoringprogramm zur Beobachtung des Eschensterbens. Mit der Initiierung des Forschungsprogramms *FraxForFuture* zur Erhaltung der Baumart (<https://www.fraxforfuture.de>) wurde auch der Forschungsverbund *FraxMon* begründet, der sich insbesondere dem Monitoring des Vitalitätszustandes von Eschen sowie der räumlichen und zeitlichen Dynamik der Ausbreitung des Eschensterbens auf unterschiedlichen Beobachtungsebenen (Einzelbaum -> Bestand -> Region) in ganz Deutschland widmet. Voraussetzung hierfür war die Entwicklung eines eigenständigen Boniturschlüssels<sup>1</sup>, mit dem die verschiedenen Merkmale des Eschensterbens an verschiedenen Baumkompartimenten (Krone, Stamm, Stammfuß) sowohl im Winter als auch im Sommer bewertet werden können.

Die multidisziplinär angelegten Untersuchungen von vier Forschungsverbänden konzentrieren sich deutschlandweit auf 14 Intensivdauerbeobachtungsflächen (IBF). Auf der Einzelbaumebene werden hier phänologische, physiologische, biochemische und holzanatomische Parameter untersucht, die die Grundlage für eine Frühindikation der Befallsdisposition von Eschen bilden. In Brandenburg wurde im Jahr 2020 ein 1 ha großer Eschenmischbe-

stand im Revier Stegelitz (Landeswaldoberförsterei Reiersdorf) als repräsentative Intensivdauerbeobachtungsfläche ausgewiesen. Seit der Ersteinrichtung der Monitoringfläche im Nordosten Brandenburgs hat sich der Vitalitätszustand der Eschen drastisch verschlechtert. Von insgesamt 125 vitalen Eschen sind innerhalb der letzten zwei Jahre bereits 29 Eschen abgestorben. Im Vergleich der beiden Aufnahmen im Winter 2020/2021 zum Winter 2021/2022 hat sich der Vitalitätszustand um fast eine Stufe verschlechtert.

Der Blattverlust lag im Durchschnitt bei rund 48 Prozent. Im gesamten Bestand ist aktuell keine vitale Esche mehr vorhanden. Ein deutlicher Hinweis auf den stetig abnehmenden Vitalitätszustand ist die Zunahme der Wasserreiser in der Krone und am Stamm.

Obwohl der Name der Erkrankung einen ausschließlichen Befall von Blättern und Trieben in der Krone erwarten lässt, treten die größten Schäden an Wurzelanläufen im unteren Stammbereich auf. Ca. ¾ der Eschen zeigen derartige sogenannte Stammfußnekrosen, die überwiegend bereits weit fortgeschritten sind.

Um die aktuelle räumliche und zeitliche Entwicklung des Eschensterbens besser bewerten zu können, und um von punktuellen Daten zu Flächeninformationen zu gelangen, ist ein weiterer Forschungsschwerpunkt auf die Entwicklung und Anwendung von fernerkundungsbasierten Verfahren zur Erfassung des Kronenzustandes ausgerichtet. Aus diesem Grund wurde die Monitoringfläche Stegelitz mehrfach von Drohnen mit unterschiedlicher Kamertechnik befliegen. Als Ergebnis der Befliegungen wurden sowohl RGB-True-Orthobilder\* als auch Aufnahmen im nahen Infrarotbereich (RGBi) generiert und zu Analyse Zwecken bewertet.

Nach der lagerichtigen, senkrechten Darstellung der Baumkronen lassen sich weitere Vitalitätsparameter, wie z.B. der „Normalisierte Differenzierte VegetationsIndex“ (NDVI) berechnen. Der NDVI ist ein Quotient aus den Reflexionswerten der Blatt- und Kronenoberflächen im nahen Infrarotbereich und des roten sichtbaren Bereichs (rot, etwa 620 bis 700 nm) des Lichtspektrums. Bei vitalen



Abb. 36: Fruchtkörper des Eschenstengelbecherchens an einer Blattspindel aus der Bodenstreu

<sup>1</sup> Boniturschlüssel: [https://www.fnr.de/fileadmin/Projekte/2021/Eschentriebsterben/Flyer\\_DIN\\_Lang\\_Bonitur\\_web\\_NEU.pdf](https://www.fnr.de/fileadmin/Projekte/2021/Eschentriebsterben/Flyer_DIN_Lang_Bonitur_web_NEU.pdf)





Abb. 37: Krone einer absterbenden Esche mit deutlichen Symptomen des Eschentriebsterben



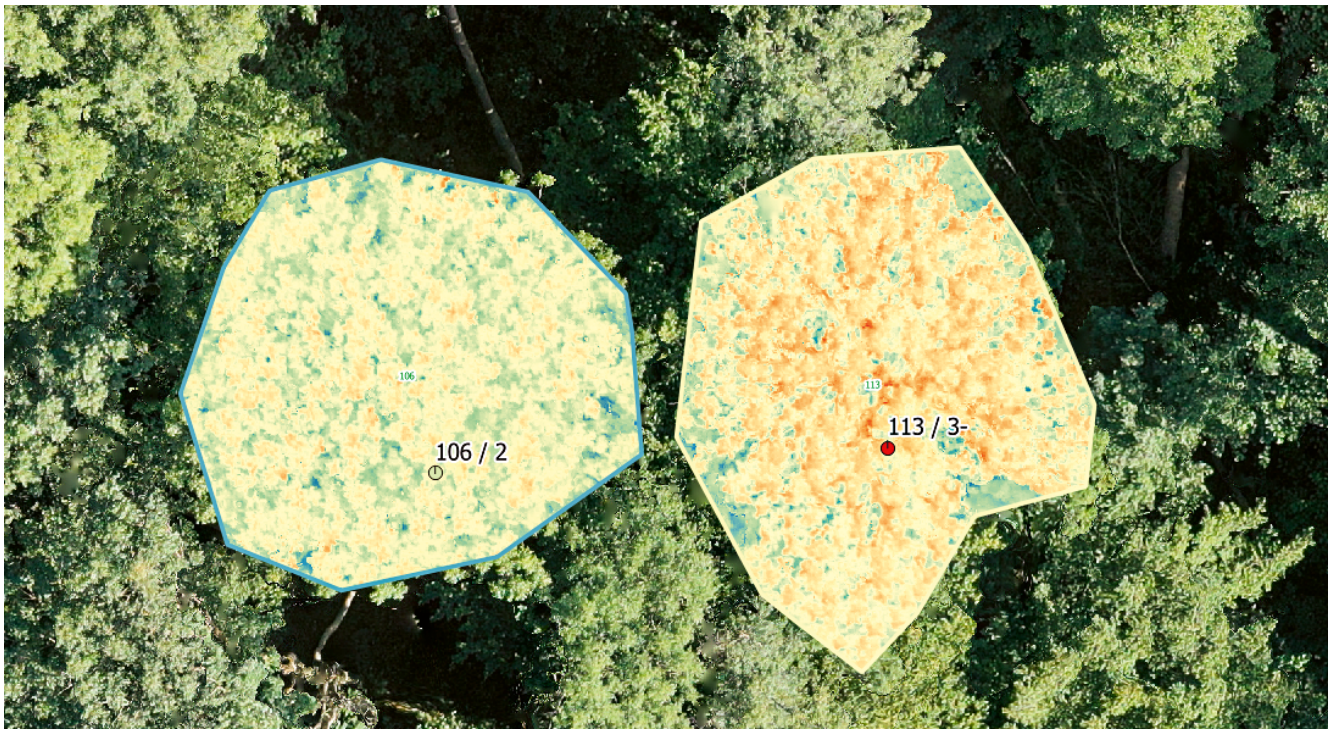


Abb. 38: Luftbildausschnitt zweier Eschen auf der Monitoringfläche Stegelitz, Hintergrund RGB-Luftbild, Überlagerung NDVI-Index (links: Baumnummer, rechts Schadstufe, Sommer 2021)

Bäumen ist die Reflektion der Blattoberflächen im roten Bereich des sichtbaren Spektralbereichs relativ gering und im darauf folgenden nahen Infrarot-Bereich hoch. Beispielhaft zeigt dies Abb. 38 bei zwei benachbarten Eschen mit unterschiedlichem Schädigungsgrad. In der stärker geschädigten Krone (links, Baum-Nr. 113; Schadstufe 3) überwiegen rötliche Töne, gegenüber dem vitaleren (grüneren) Baum 106 (rechts).

Vergleicht man die Histogramme der Pixelwerte der einzelnen Kanäle im NDVI zwischen leicht (Schadstufen 1-2) und stark (Schadstufen 3-4) geschädigten Eschen, so zeigen die Histogramme der

erkrankten Bäume eine eher linksschiefe Helligkeitsverteilung (Abb. 39 links), während das Histogramm der gesünderen Eschen eine Zweigipfligkeit bzw. eine Mischverteilung aufweisen (Abb. 39 rechts).

Die Verknüpfungen von terrestrisch erhobenen Boniturdaten mit den per Drohne erfassten Kronenparametern bedeuten einen Informationsgewinn sowohl für das Forstliche Monitoring als auch für die aufwendige Suche nach vitaleren, potenziell resistenten Eschen. Die Untersuchungen zum Eschensterben haben hier Modellcharakter.

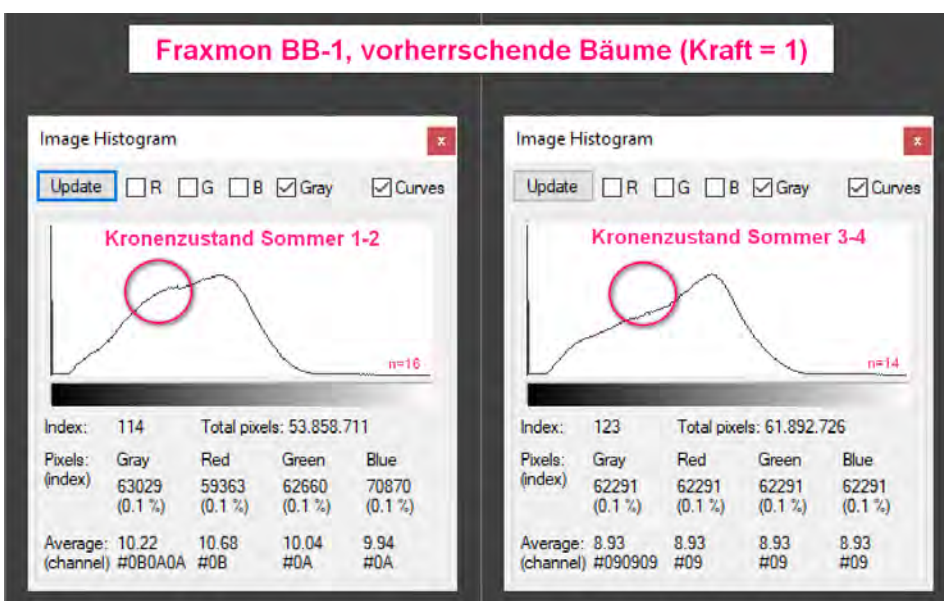


Abb. 39: Pixelwerte der einzelnen Kanäle im NDVI, gruppiert nach Schadstufen der Kronenansprache



# Literatur

- ALLEN, R.G., L.S. PEREIRA, D. RAES und M. SMITH. (1998): Crop evapotranspiration-Guidelines for computing crop water requirements-FAO Irrigation and drainage paper 56. In: FAO, Rome 300 (9): 1–15.
- DWD CLIMATE DATA CENTER (CDC). (2018): Historical daily station observations (temperature, pressure, precipitation, sunshine duration, etc.) for Germany, version v006.
- EICHHORN, J., P. ROSKAMS, N. POTOČIĆ, V. TIMMERMANN, M. FERRETTI, V. MUES, A. SZEPESI, D. DURRANT, I. SELETKOVIĆ, H. SCHRÖCK, S. NEVALAINEN, F. BUSSOTTI, P. GARCIA und S. WULFF. (2016): Part IV: Visual Assessment of Crown Condition and Damaging Agents. In: UNECE ICP Forests Programme Co-ordinating Centre (ed.): Manual on methods and criteria for harmonized sampling, assessment, monitoring and analysis of the effects of air pollution on. Thünen Institute of Forest Ecosystems, Eberswalde, Germany: 49 p. + Annex.
- EICKENSCHIEDT, N. und N. WELLBROCK. (2014): Consistency of defoliation data of the national training courses for the forest condition survey in Germany from 1992 to 2012. In: Environmental Monitoring and Assessment 186 (1): 257–275.
- KALLWEIT, R. (2016): Messnetze der forstlichen Umweltkontrolle in Brandenburg. In: LFE (ed.): 30 Jahre forstliches Umweltmonitoring in Brandenburg - Eberswalder Forstliche Schriftenreihe Band 63. Ministerium für Ländliche Entwicklung, Umwelt und Landwirtschaft des Landes Brandenburg (MLUL): 16–26.
- KÖHLER, M., B. AHRENDTS und H. MEESENBURG. (2015): Wie gut ist einfach? Evaluierung verschiedener Verfahren zur Regionalisierung täglicher Wetterdaten. In: Poster auf dem Tag der Hydrologie, Bonn, 19.-20. März 2015.
- LANGER, G.J. (2019): Komplexe Erkrankungen bei älteren Rotbuchen. In: AFZ - Der Wald 24: 30–33.
- LANGER, G.J., J. BUSSKAMP und E.J. LANGER. (2020): Absterbescheinungen bei Rotbuche durch Trockenheit und Wärme. In: AFZ Der Wald 75 (4): 24–27.
- LEUSCHNER, C. (2020): Drought response of European beech (*Fagus sylvatica* L.) - A review. In: Perspectives in Plant Ecology, Evolution and Systematics 47: 125576.
- MCDOWELL, N.G. (2011): Mechanisms linking drought, hydraulics, carbon metabolism, and vegetation mortality. In: Plant physiology 155 (3): 1051–1059.
- MEINING, S., A. BAUER, I. DAMMANN, P. GAWEHN, H. SCHRÖCK und J. WENDLAND. (2007): Waldbäume - Bilderserien zur Einschätzung von Kronenverlichtungen bei Waldbäumen. Verlag M FASTE, Kassel.
- MÜLLER, C., K. MÖLLER und M. JANSEN. (2022): Die Kleine Dunkle Kiefernbuschhornblattwespe (*Gilpinia frutetorum*) mit seltener Massenvermehrung. In: AFZ-Der Wald 20: xx.
- SCHMIDT-WALTER, P. (2018): KSPclimpredict: Predict daily climate parameters from saved ModelObjects and Data. R package version 0.1.0.
- SCHMIDT-WALTER, P.. (2019): KSPclimreg: Routines for interpolating daily climatic variables. R package version 0.1.0.
- WELLBROCK, N., N. EICKENSCHIEDT, L. HILBRIG, P.-E. DÜHNELT, M. HOLZHAUSEN, A. BAUER, I. DAMMANN, S. STRICH, F. ENGELS und A. WAUER. (2020): Leitfaden und Dokumentation zur Waldzustandserhebung in Deutschland. 2nd ed., Braunschweig: Johann Heinrich vonThünen-Institut, 98 p., Thünen Working Paper 84.
- WOOD, S.N. (2017): Generalized Additive Models: An Introduction with R. 2nd ed., hapman and Hall/CRC.

# Anhang

Bei der Berechnung der Schadstufenanteile kann es aufgrund von Rundungsfehlern geringfügige Abweichungen zu 100 Prozent geben. Im Bericht und in den Grafiken wurden in diesen Fällen die Anteile der Schadstufe 0 auf 100 gerundet.

Aufgrund von Ausfälle von Sensoren und/oder Datenloggern können einzelne Zeitreihen der Meteorologie unvollständig sein.

## ERGEBNISSE DER WALDZUSTANDSERHEBUNG

Land Brandenburg Stichprobeneinheit	kombinierte Schadstufe(n) in %						mittlere Kronen- verlichtung (%)	Stich- proben- umfang (Anzahl Bäume)
	0	1	2	3	4	2 - 4		
<i>Baumarten und Altersgruppen 2022</i>								
<b>Kiefer</b>	<b>5,5</b>	<b>79,7</b>	<b>13,8</b>	<b>0,2</b>	<b>0,8</b>	<b>14,8</b>	<b>22</b>	<b>3454</b>
bis 60-jährig	4,7	76	18,3	0,2	0,8	19,3	23	1212
über 60-jährig	5,9	81,7	11,3	0,2	0,8	12,4	22	2242
<b>andere Nadelbäume</b>	<b>16,2</b>	<b>40</b>	<b>38,8</b>	<b>0,6</b>	<b>4,4</b>	<b>43,8</b>	<b>28</b>	<b>160</b>
bis 60-jährig	18,9	37,9	37,1	0,8	5,3	43,2	28	132
über 60-jährig	3,6	50	46,4	0	0	46,4	29	28
<b>Buche</b>	<b>8,2</b>	<b>38</b>	<b>50</b>	<b>3,8</b>	<b>0</b>	<b>53,8</b>	<b>29</b>	<b>184</b>
bis 60-jährig	46,9	25	25	3,1	0	28,1	21	32
über 60-jährig	0	40,8	55,3	3,9	0	59,2	31	152
<b>Eiche</b>	<b>4,4</b>	<b>45,1</b>	<b>46,5</b>	<b>2,7</b>	<b>1,3</b>	<b>50,4</b>	<b>30</b>	<b>226</b>
bis 60-jährig	9,1	42,4	48,5	0	0	48,5	27	33
über 60-jährig	3,6	45,6	46,1	3,1	1,6	50,8	31	193
<b>andere Laubbäume</b>	<b>14</b>	<b>61,7</b>	<b>18,2</b>	<b>3,4</b>	<b>2,8</b>	<b>24,3</b>	<b>25</b>	<b>716</b>
bis 60-jährig	19,2	53,2	21,6	4,7	1,2	27,6	24	402
über 60-jährig	7,3	72,6	13,7	1,6	4,8	20,1	25	314
<b>Baumartengruppe Laubbäume</b>	<b>11,1</b>	<b>54,5</b>	<b>29</b>	<b>3,3</b>	<b>2</b>	<b>38,1</b>	<b>27</b>	<b>1126</b>
<b>Baumartengruppe Nadelbäume</b>	<b>6</b>	<b>77,9</b>	<b>14,9</b>	<b>0,2</b>	<b>1</b>	<b>16,1</b>	<b>23</b>	<b>3614</b>

Land Brandenburg Stichprobeneinheit	kombinierte Schadstufe(n) in %						mittlere Kronen- verlichtung (%)	Stich- proben- umfang (Anzahl Bäume)
	0	1	2	3	4	2 - 4		
<b>Gesamtergebnis 2022</b>	<b>7,2</b>	<b>72,4</b>	<b>18,2</b>	<b>0,9</b>	<b>1,2</b>	<b>20,4</b>	<b>24</b>	<b>4740</b>
bis 60-jährig	9,8	66,6	21,1	1,3	1,2	23,6	24	1811
über 60-jährig	5,6	75,9	16,5	0,8	1,3	18,5	23	2929
<b>Gesamtergebnisse der Vorjahre</b>								
2021	11,4	66,2	20,2	0,8	1,4	22,4	23	4746
2020	14,9	59,7	23,3	0,9	1,3	25,4	23	1362
2019	14,5	48,9	34,2	1,5	1,1	36,7	26	1224
2018	44,7	44,6	10,0	0,2	0,5	10,7	16	984
2017	46,3	44,4	7,8	0,6	0,8	9,2	15	984
2016	45,8	45,6	7,6	0,4	0,5	8,5	15	1008
2015	40,4	50,2	8,8	0,3	0,3	9,4	15	1008
2014	47,4	42,9	9,0	0,5	0,2	9,8	15	984
2013	52,5	36,0	10,6	0,6	0,3	11,5	15	984
2012	56,8	34,8	7,0	1,0	0,4	8,4	14	984
2011	52,5	38,7	8,3	0,6	0,1	9,0	14	984
2010	59,9	33,4	6,1	0,6	0,0	6,7	13	984
2009	68,8	25,6	5,4	0,2	0,0	5,6	11	984
2008	35,4	48,8	14,4	0,9	0,5	15,8	19	5459
2007	32,8	55,1	11,2	0,6	0,3	12,1	19	5424
2006	32,4	49,6	16,1	1,5	0,4	18,0	20	5501
2005	41,2	44,8	12,8	0,8	0,5	14,1	18	5476
2004	44,7	42,6	11,2	1,1	0,5	12,7	17	5388
2003	48,5	40,2	9,4	1,5	0,3	11,2	15	13694
2002	49,2	40,8	8,4	1,3	0,2	9,9	15	13795
2001	53,3	39,2	6,8	0,5	0,3	7,5	14	13776
2000	52,8	38,7	7,6	0,6	0,3	8,5	14	13727
1999	57,2	35,4	6,6	0,5	0,3	7,4	13	13589
1998	52,6	37,6	9,0	0,5	0,3	9,8	14	13604
1997	48,7	41,5	8,9	0,6	0,3	9,7	14	13656
1996	47,7	40,8	10,3	0,8	0,4	11,5	15	13656
1995	47,1	39,1	12,1	1,1	0,6	13,8	16	13584
1994	42,1	40,1	15,6	1,5	0,6	17,8	17	13367
1993	43,8	39,2	17,1	1,2	0,6	17,1	17	13224
1992	29,7	44,8	23,8	1,4	0,3	25,5	21	13008
1991	29,0	37,7	29,5	3,9	0,0	33,3	23	12618



## KRONENZUSTANDSENTWICKLUNG NACH BAUMARTENGRUPPEN

Kiefer	kombinierte Schadstufe(n) in %						mittlere Kronenverlichtung
	0	1	2	3	4	2-4	
2022	5,5	79,7	13,8	0,2	0,8	14,8	22
2021	10,2	69,5	19,2	0,4	0,8	20,3	22
2020	15,4	68	15,3	0,5	0,8	16,6	21
2019	16,9	59,6	22,3	0,8	0,4	23,5	22
2018	47,8	46,1	5,8	0,3	0	6,1	14
2017	50,4	44,4	4,4	0,4	0,4	5,2	14
2016	46,8	47,9	4,8	0,3	0,1	5,2	14
2015	38,5	53,3	8,2	0	0	8,2	15
2014	48,1	43,9	7,5	0,3	0,1	7,9	14
2013	53,5	37,6	8,4	0,3	0,3	8,9	14
2012	63,3	33,6	2,6	0,4	0,1	3,2	11
2011	59,7	35,9	4	0,3	0,1	4,4	12
2010	65,9	30,5	3,3	0,3	0	3,6	11
2009	74,8	22,8	2,5	0	0	2,5	10
2008	35,1	50	13,6	0,9	0,4	14,8	18
2007	33	57,2	9,3	0,3	0,2	9,8	17
2006	32	51,6	15	1,1	0,2	16,4	19
2005	40,8	46,4	11,7	0,7	0,4	12,8	17
2004	45,5	44,6	8,9	0,6	0,4	9,9	15
2003	48,7	41,8	7,9	1,5	0,2	9,5	15
2002	48,7	42,3	7,5	1,3	0,2	9	15
2001	52,9	40,8	5,8	0,3	0,1	6,3	13
2000	52,6	40	6,8	0,4	0,2	7,4	13
1999	56,7	36,8	5,9	0,3	0,3	6,5	13
1998	50,9	39,5	9	0,4	0,2	9,6	14
1997	45,6	44,8	9	0,4	0,3	9,7	15
1996	45,8	43,4	9,9	0,5	0,4	10,8	15
1995	45,2	41,5	11,9	0,8	0,7	13,4	16
1994	39,1	42,7	16,3	1,4	0,6	18,3	18
1993	41,7	41,2	15,8	0,8	0,6	17,1	17
1992	25,7	46,6	26,1	1,3	0,3	27,7	22
1991	25	38,4	32,3	4,3	0	36,6	24

andere Nadelbäume	kombinierte Schadstufe(n) in %						mittlere Kronenverlichtung
	0	1	2	3	4	2-4	
2022	16,2	40	38,8	0,6	4,4	43,8	28
2021	22,6	56	14,5	1,3	5,7	21,4	24
2020	13,6	65,9	13,6	0	6,8	20,5	26
2019	40,5	45,2	7,1	0	7,1	14,3	21
2018	77,1	8,6	5,7	0	8,6	14,3	18
2017	45,9	32,4	5,4	2,7	13,5	21,6	26
2016	70	20	5	2,5	2,5	10	14
2015	65,9	24,4	4,9	2,4	2,4	9,8	15
2014	72,9	25	0	2,1	0	2,1	9
2013	82	16	0	2	0	2	8
2012	70,6	21,6	3,9	2	2	7,8	12
2011	74,5	23,5	2	0	0	2	8
2010	82,4	15,7	2	0	0	2	7
2009	80,4	19,6	0	0	0	0	7
2008	58,5	34,4	5,7	0,8	0,6	7,1	13
2007	47,9	38,9	11,8	0,8	0,6	13,3	16
2006	57,8	34,7	6,1	0,8	0,6	7,5	13
2005	65,5	29,6	3,5	0,3	1,1	4,9	11
2004	67,7	26	4,9	0,3	1	6,2	11
2003	71,5	24,2	2,9	0,7	0,6	4,3	10
2002	65,2	29,5	4	0,4	0,9	5,3	11
2001	71	25,7	2,4	0,9	0	3,2	9
2000	70,6	25,4	3,4	0,3	0,3	4	10
1999	73,6	24,2	1,5	0,3	0,4	2,2	9
1998	67,8	27,6	3,7	0,6	0,3	4,6	10
1997	70	25,4	3,7	0,7	0,1	4,6	9
1996	64,8	29,1	5,5	0,4	0,1	6,1	10
1995	67,6	25,3	6,2	0,7	0,1	7,1	10
1994	68,2	23,7	7,3	0,6	0,2	8,1	10
1993	63,5	27,1	7,7	1,3	0,5	9,4	12
1992	68,9	25,5	4,5	0,5	0,6	5,6	10
1991	61,5	30,2	7,9	0,5	0	8,4	11

Buche	kombinierte Schadstufe(n) in %						mittlere Kronen- verlichtung
	0	1	2	3	4	2-4	
2022	8,2	38	50	3,8	0	53,8	29
2021	6,6	53	37,6	2,2	0,6	40,3	27
2020	9,3	50,7	38,1	1,9	0	40	26
2019	6	32,3	59	2,8	0	61,8	31
2018	66,7	30,3	3	0	0	3	10
2017	60,6	33,3	6,1	0	0	6,1	12
2016	56,2	34,4	9,4	0	0	9,4	13
2015	59,4	37,5	3,1	0	0	3,1	12
2014	62,5	31,2	6,2	0	0	6,2	12
2013	74,2	19,4	6,5	0	0	6,5	10
2012	48,4	25,8	25,8	0	0	25,8	16
2011	12,9	51,6	35,5	0	0	35,5	23
2010	38,7	45,2	16,1	0	0	16,1	17
2009	29	41,9	29	0	0	29	21
2008	36,2	36,7	26,3	0,8	0	27,1	19
2007	31,5	36,7	31	0,8	0	31,8	21
2006	34	32,9	32,3	0,8	0	33,2	20
2005	38,9	33,2	26,6	1,1	0,3	27,9	20
2004	35,8	27,6	34,4	2,2	0	36,6	22
2003	54,2	28,5	16,4	0,8	0	17,3	15
2002	46,2	32,5	19,6	1,7	0	21,3	17
2001	51,4	33,1	14,6	0,8	0	15,5	15
2000	43,9	29	26	1,1	0	27,1	18
1999	60,7	26,3	11,6	1,2	0,3	13	13
1998	58,7	22,3	17,1	2	0	19,1	15
1997	59	22,3	16,5	2,3	0	18,8	14
1996	61,6	17,2	16,3	4,9	0	21,2	15
1995	47,2	26,7	24,3	1,4	0,3	26,1	18
1994	55,4	30	12,8	1,2	0,6	14,6	14
1993	53,7	28	16,2	1,5	0,6	18,3	14
1992	47	35,1	15,8	1,8	0,3	17,9	16
1991	37,5	39	22	1,5	0	23,5	19

Eiche	kombinierte Schadstufe(n) in %						mittlere Kronen- verlichtung
	0	1	2	3	4	2-4	
2022	4,4	45,1	46,5	2,7	1,3	50,4	30
2021	3,6	54,5	39,6	0,9	1,4	41,9	28
2020	10,1	41,9	46,9	0,6	0,6	48	27
2019	8,3	25,8	63,6	0,8	1,5	65,9	33
2018	16,4	46,6	37,1	0	0	37,1	25
2017	27,6	50	21,6	0,9	0	22,4	20
2016	33	47	19,1	0,9	0	20	18
2015	36,5	44,3	17,4	0,9	0,9	19,1	19
2014	32	49	16	2	1	19	20
2013	28,9	34	33	3,1	1	37,1	25
2012	10,3	48,5	35,1	4,1	2,1	41,2	29
2011	8,2	58,8	28,9	4,1	0	33	25
2010	22,7	49,5	23,7	4,1	0	27,8	22
2009	40,2	34	23,7	2,1	0	25,8	19
2008	23,4	48,4	24,8	0,8	2,6	28,2	23
2007	23,9	43	29,3	2	1,8	33,1	24
2006	25,3	40,6	31,7	1,2	1,2	34,1	23
2005	30	30,2	36,1	2,4	1,2	39,7	25
2004	26,9	28,3	36,2	7,3	1,2	44,8	28
2003	30,9	37,6	28,9	2,2	0,4	31,5	22
2002	39,1	40,2	19,9	0,6	0,2	20,7	18
2001	34,5	38,7	25,6	1,3	0	26,9	20
2000	36,9	43,9	17,7	0,6	0,8	19,2	19
1999	34,8	37,5	25,3	1,8	0,7	27,7	21
1998	43,9	35,7	18,4	1,3	0,8	20,5	18
1997	40	41,4	17,7	0,7	0,2	18,6	18
1996	31,8	34,1	29,6	4,5	0	34,1	23
1995	42,9	36,6	17,8	2,7	0	20,4	18
1994	37,6	38,6	20,1	3,5	0,2	23,8	20
1993	35,3	41,4	20,3	2,7	0,2	23,3	20
1992	33,6	48,1	16,3	2	0	18,3	18
1991	31,6	39,8	27,7	1	0	28,6	21

andere Laubbäume	kombinierte Schadstufe(n) in %						mittlere Kronenverlichtung
	0	1	2	3	4	2-4	
2022	14	61,7	18,2	3,4	2,8	24,3	25
2021	18,5	59,5	16,2	1,9	3,9	22	24
2020	25	51,7	17,4	1,7	4,1	23,3	24
2019	12,7	40	38,2	4,5	4,5	47,3	32
2018	36,6	49,5	11,8	0	2,2	14	18
2017	34,1	46,2	18,7	1,1	0	19,8	18
2016	39,8	40,9	16,1	0	3,2	19,4	20
2015	42,4	48,9	6,5	1,1	1,1	8,7	16
2014	38,8	41,2	20	0	0	20	17
2013	45,6	43	11,4	0	0	11,4	16
2012	48,7	41	7,7	2,6	0	10,3	16
2011	43,6	41	15,4	0	0	15,4	16
2010	42,9	48,1	9,1	0	0	9,1	15
2009	64,5	31,6	3,9	0	0	3,9	10
2008	29	47,1	21,4	1,6	0,9	23,9	22
2007	25,5	52,4	18,2	3,2	0,8	22,1	22
2006	23,1	45,3	22,1	6,4	3,1	31,6	27
2005	36,2	45,9	15	1,6	1,3	17,9	20
2004	38,7	37,7	19,4	3,3	1	23,6	21
2003	38,4	39,2	18,8	2,9	0,8	22,4	20
2002	42,9	41,9	13,1	1,8	0,3	15,1	17
2001	52,1	35,2	8,5	1,5	2,7	12,7	17
2000	53,5	34,3	7,8	3,6	0,8	12,2	16
1999	59,9	30,6	7,4	1,7	0,5	9,5	14
1998	61,1	31,1	6,3	1,4	0,2	7,9	13
1997	61	31,3	6,2	1	0,5	7,7	13
1996	58,9	31,4	8,1	1,2	0,4	9,7	13
1995	56,5	27,9	11,1	3,9	0,6	15,6	16
1994	56,9	26,4	13,2	2,4	1,1	16,7	16
1993	54,8	27,1	12,3	4,9	0,9	18,2	18
1992	40,1	40,2	16,2	2,6	1,1	19,8	18
1991	47,2	33,6	15,3	3,9	0	19,2	18

## FRUKTIFIKATION DER HAUPTBAUMARTEN

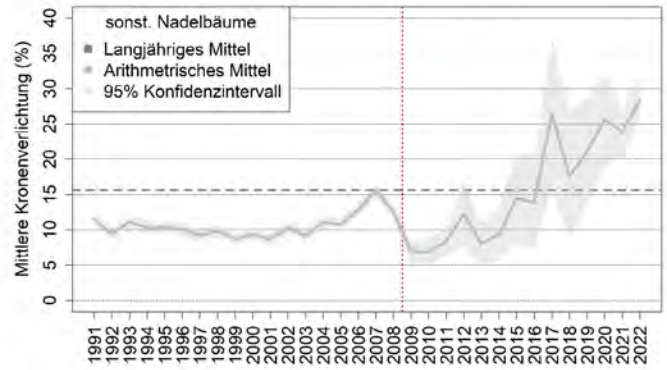
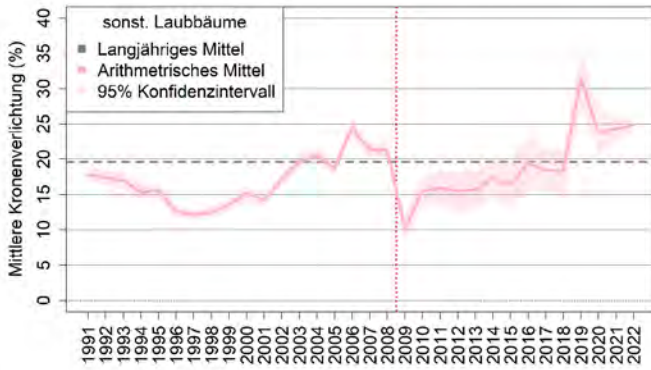
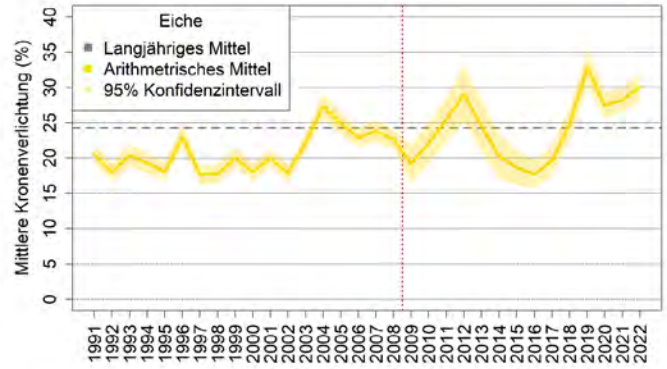
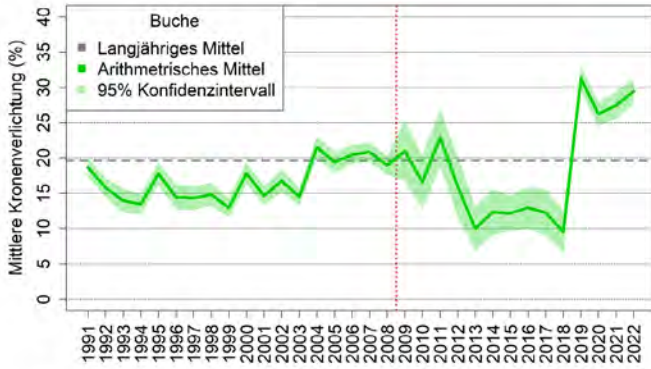
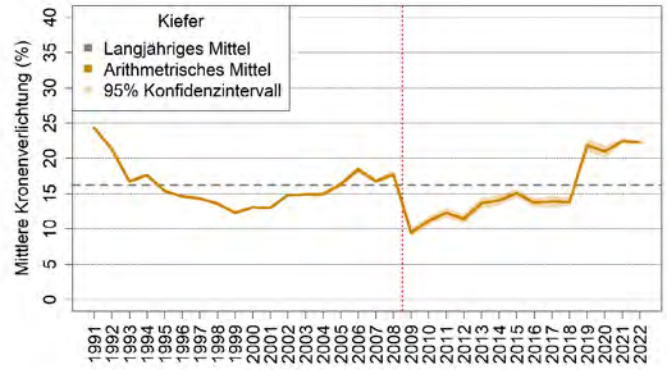
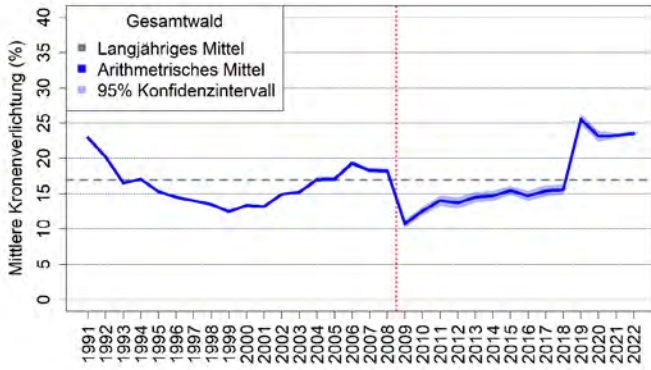
Kiefer	Anteile der Intensitätsstufen Zapfenbehang in %				mittlere Intensitätsstufe
	ohne 0	gering 1	mittel und stark 2 + 3	mit Zapfen 1 - 3	
2022	13,1	66	20,8	86,8	1,2
2021	17,3	60,1	22,5	82,6	1,2
2020	24,1	71,7	4,1	75,8	0,8
2019	2,6	80,9	16,5	97,4	1,1
2018	12,3	85,3	2,4	87,7	0,9
2017	14	70,6	15,4	86	1
2016	11,1	29,5	59,2	88,7	1,7
2015	48,4	35,4	16,2	51,6	0,7
2014	20	34,2	45,8	80	1,5
2013	10,2	38,2	51,4	89,7	1,6
2012	54,1	27,6	18,3	45,9	0,8
2011	20,6	34	45,4	79,4	1,5
2010	18,5	23,5	58	81,5	1,9
2009	18,2	30,9	50,9	81,8	1,7
2008	66,4	30,7	2,9	33,6	0,9
2007	44,7	44,2	11,1	55,3	1,6
2006	37,8	48,1	14,1	62,2	1,8
2005	51,5	40,1	8,4	48,5	1,4
2004	48,4	42,5	9,2	51,6	1,5
2003	54,4	40,1	5,4	45,6	1,2
2002	46,5	45,2	8,3	53,5	1,5
2001	51,5	41,8	6,7	48,5	1,3
2000	62,7	33,7	3,6	37,3	1
1999	39	46,3	14,7	61	1,9
1998	49,4	38,3	12,3	50,6	1,6
1997	74,1	23	2,9	25,9	0,8
1996	71,3	25,5	3,2	28,7	0,9
1995	62,4	31,7	5,8	37,6	1,2
1994	73,3	23,7	3	26,7	0,8



Buche	Anteile der Intensitätsstufen Zapfenbehang in %				mittlere Intensitäts- Stufe
	ohne 0	gering 1	mittel und stark 2 + 3	mit Zapfen 1 - 3	
2022	16,8	27,2	55,4	82,6	1,8
2021	45,3	41,4	13,3	54,7	0,7
2020	59,1	37,2	3,7	40,9	0,5
2019	20,3	26,7	53	79,7	1,6
2018	57,6	42,4	0	42,4	0,5
2017	9,1	45,5	45,5	90,9	1,6
2016	21,9	31,2	46,9	78,1	1,4
2015	59,4	12,5	28,1	40,6	0,7
2014	37,5	40,6	21,9	62,5	0,9
2013	100	0	0	0	0
2012	100	0	0	0	0
2011	0	6,5	93,5	100	2,5
2010	90,3	9,7	0	9,7	0,1
2009	9,7	22,6	67,7	90,3	2
2008	91,8	7,9	0,3	8,2	0,1
2007	46	32,1	21,9	54	0,9
2006	47,9	36,7	15,3	52,1	0,8
2005	97,5	2,5	0	2,5	0
2004	36,3	30,1	33,6	63,7	1,1
2003	88,2	10,4	1,4	11,8	0,1
2002	44	33,9	22,1	56	0,9
2001	91,4	8,6	0	8,6	0,1
2000	30,4	20,7	48,9	69,6	1,6
1999	92,2	7,8	0	7,8	0,1
1998	49,1	31,5	19,4	50,9	0,8
1997	97,1	2,9	0	2,9	0
1996	97,7	2	0,3	2,3	0
1995	30,1	32,8	37,1	69,9	1,3
1994	99,4	0,6	0	0,6	0

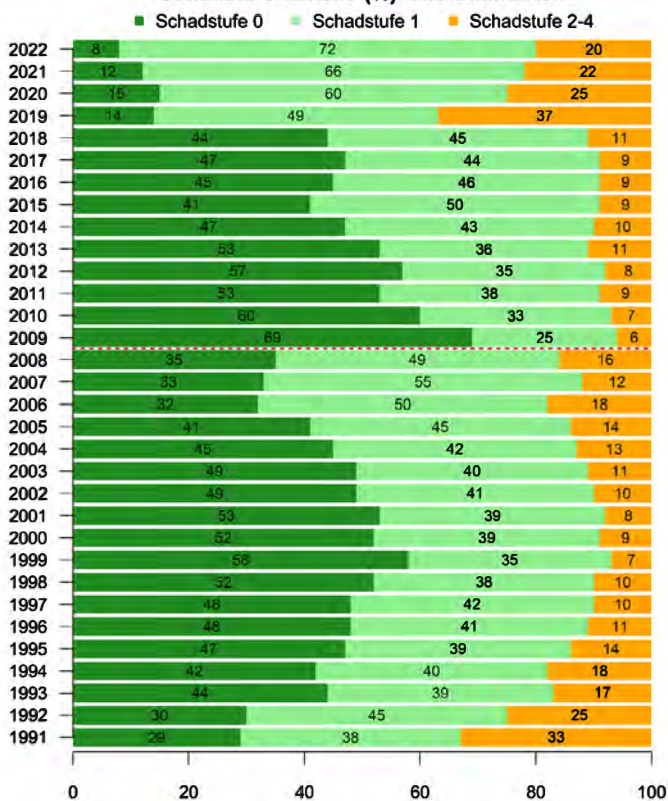
Eiche	Anteile der Intensitätsstufen Zapfenbehang in %				mittlere Intensitäts- Stufe
	ohne 0	gering 1	mittel und stark 2 + 3	mit Zapfen 1 - 3	
2022	35	42,5	22,1	64,6	1
2021	55,9	36,9	6,3	43,2	0,5
2020	39,7	55,9	4,5	60,3	0,7
2019	91,7	8,3	0	8,3	0,1
2018	12,1	66,4	21,6	87,9	1,2
2017	53,4	39,7	6,9	46,6	0,6
2016	25,2	34,8	40	74,8	1,2
2015	41,7	45,2	13	58,3	0,8
2014	63	25	12	37	0,5
2013	55,7	39,2	4,1	43,3	0,5
2012	80,4	15,5	3,1	18,6	0,2
2011	76,3	17,5	6,2	23,7	0,3
2010	93,8	5,2	1	6,2	0,1
2009	69,1	19,6	11,3	30,9	0,4
2008	88,5	11,3	0,2	11,5	0,5
2007	93,2	6,6	0,2	6,8	0,3
2006	81,6	16	2,4	18,4	1,1
2005	96	4	0	4	0,2
2004	97,8	2,2	0	2,2	0,1
2003	74,5	19,6	5,9	25,5	1,7
2002	95,1	4,7	0,2	4,9	0,2
2001	80,5	14,9	4,6	19,5	1,1
2000	81,9	14,3	3,8	18,1	1,1
1999	91,8	7,1	1,1	8,2	0,4
1998	81,4	13,5	5,1	18,6	1,1
1997	95,1	4,9	0	4,9	0,3
1996	98,4	1,1	0,4	1,6	0,1
1995	89,7	8,5	1,8	10,3	0,6
1994	99,3	0,7	0	0,7	0

## BAUMARTENVERGLEICH – KRONENVERLICHTUNG

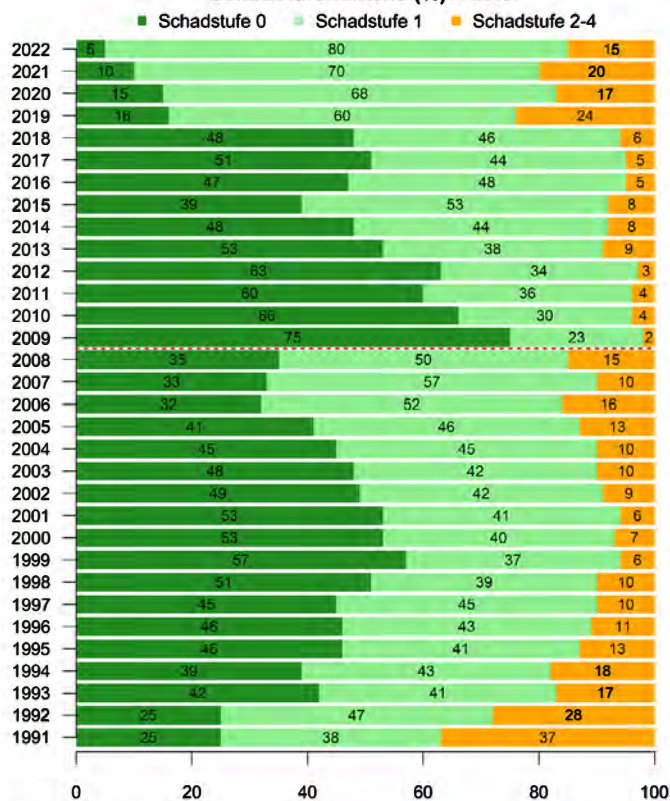


**BAUMARTENVERGLEICH – DEUTLICHE SCHÄDEN**

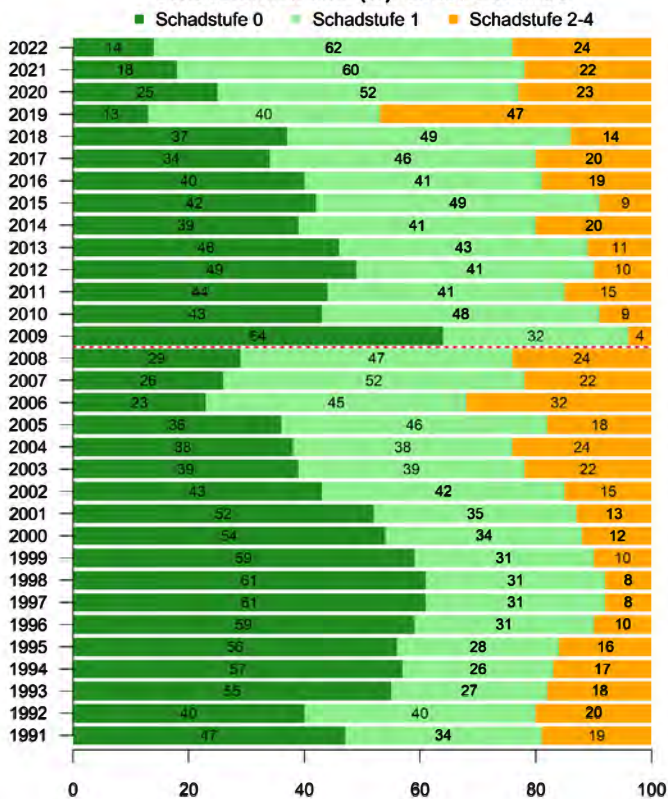
**Schadstufenanteile (%): alle Baumarten**



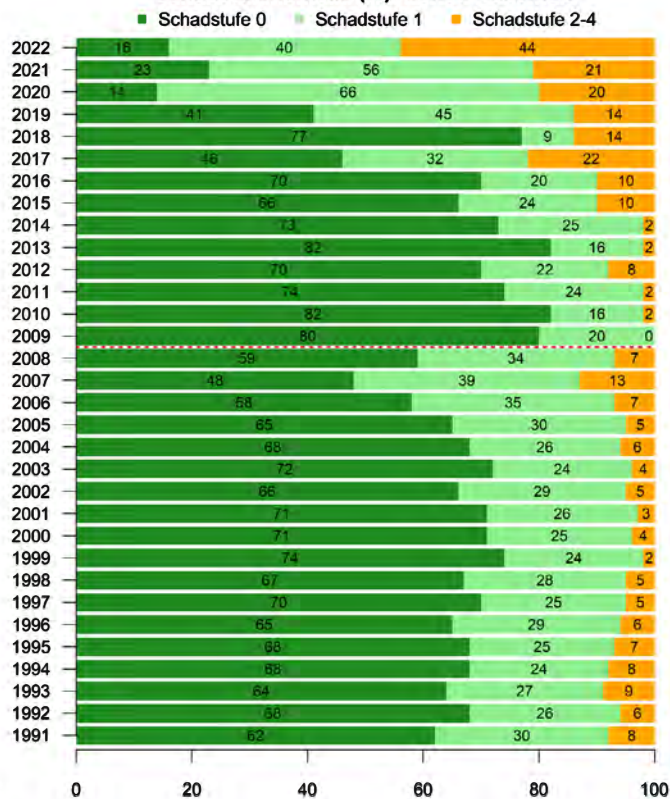
**Schadstufenanteile (%): Kiefer**



**Schadstufenanteile (%): sonst. Laubholz**

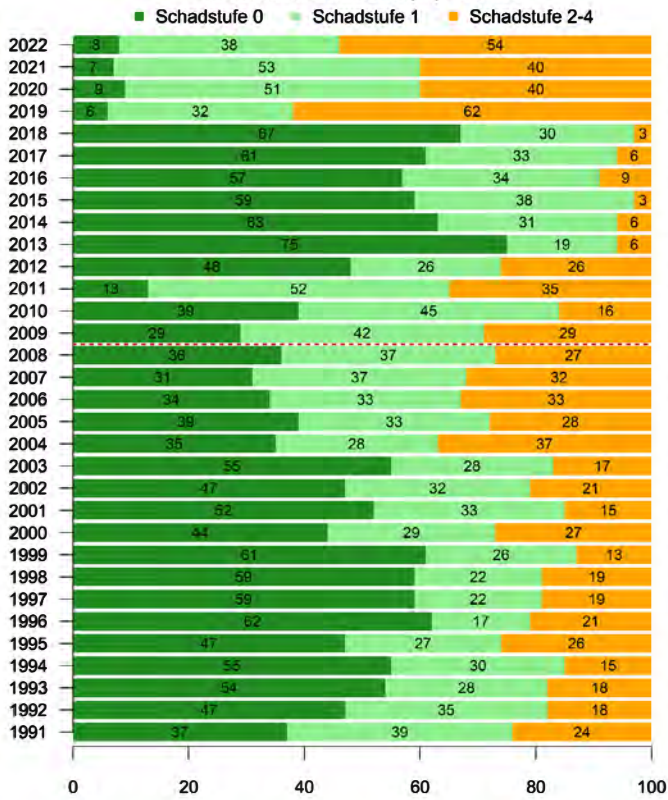


**Schadstufenanteile (%): sonst. Nadelholz**

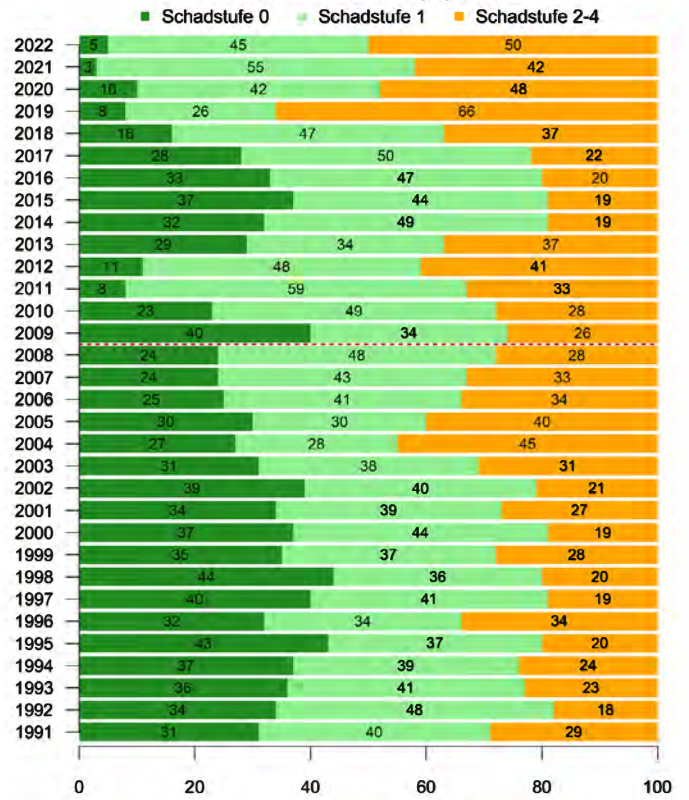




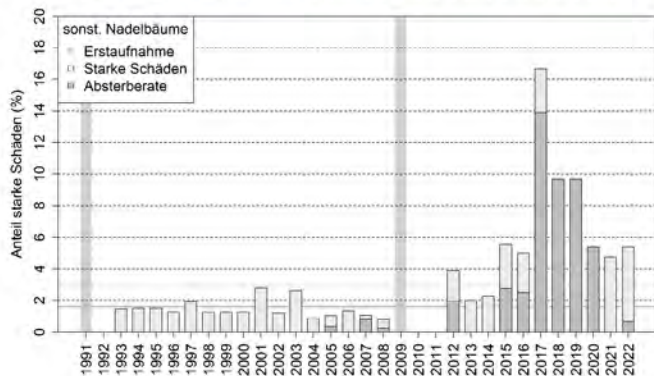
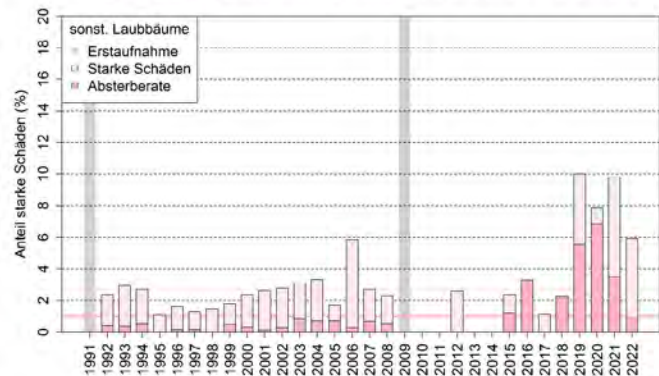
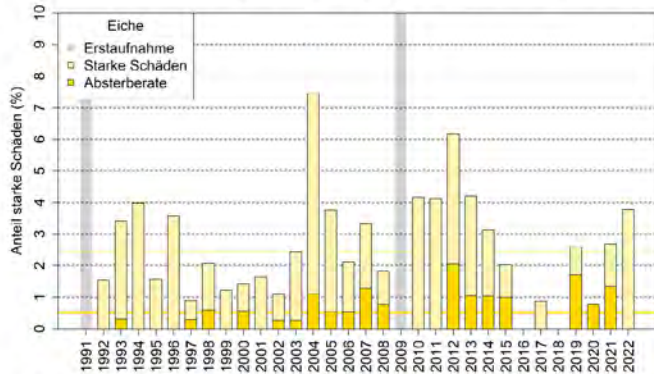
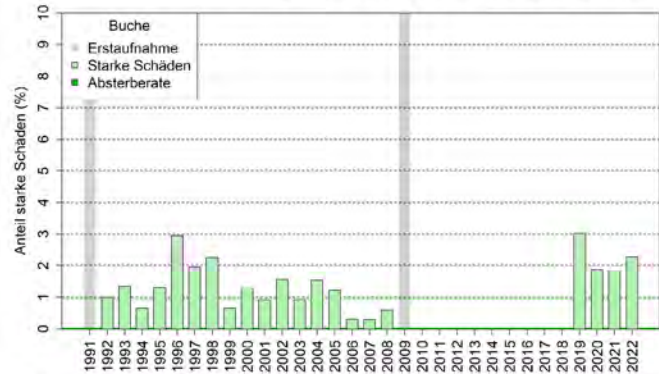
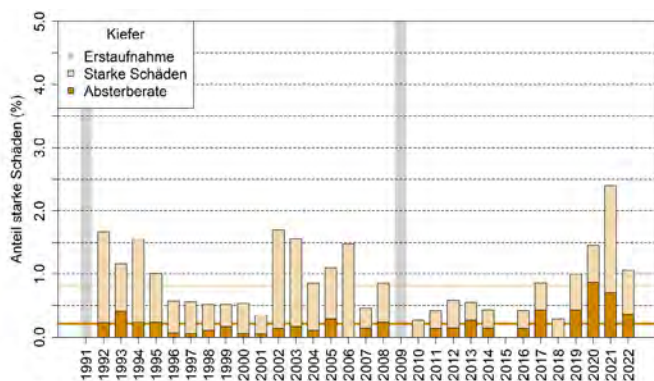
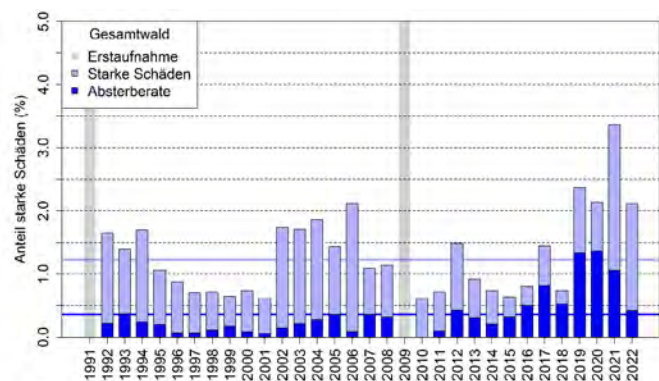
### Schadstufenanteile (%): Buche



### Schadstufenanteile (%): Eiche

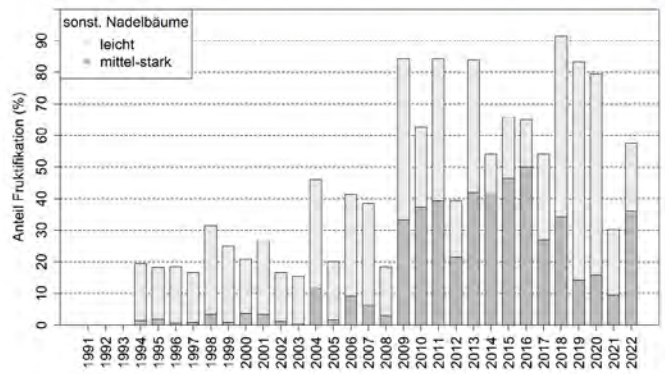
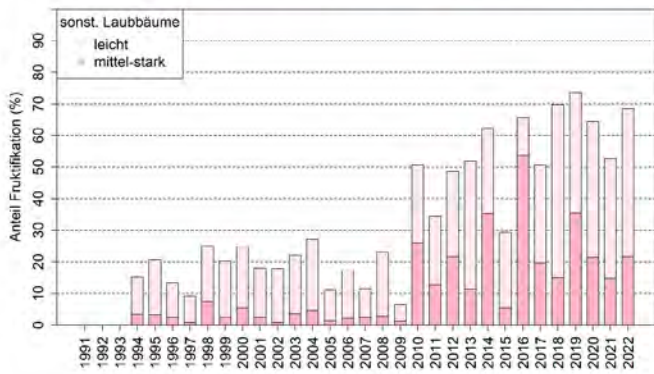
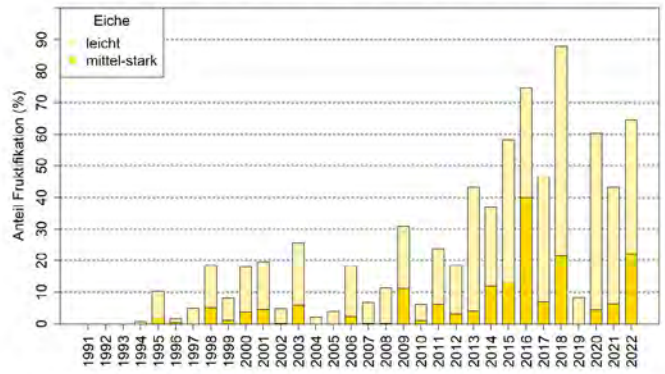
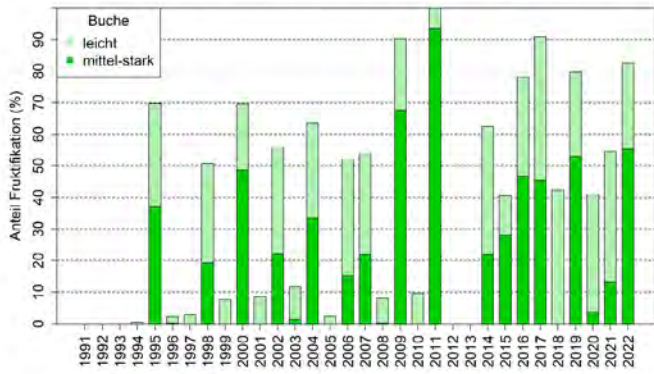
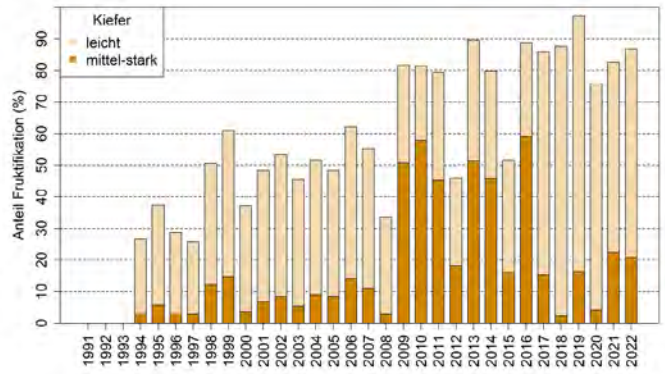
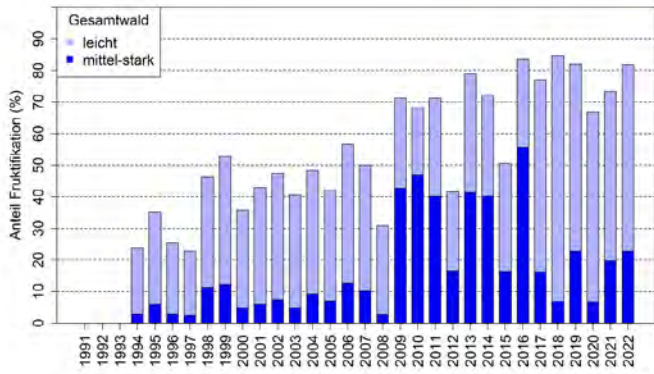


## BAUMARTENVERGLEICH – STARKE SCHÄDEN UND JÄHRLICHE ABSTERBERATE



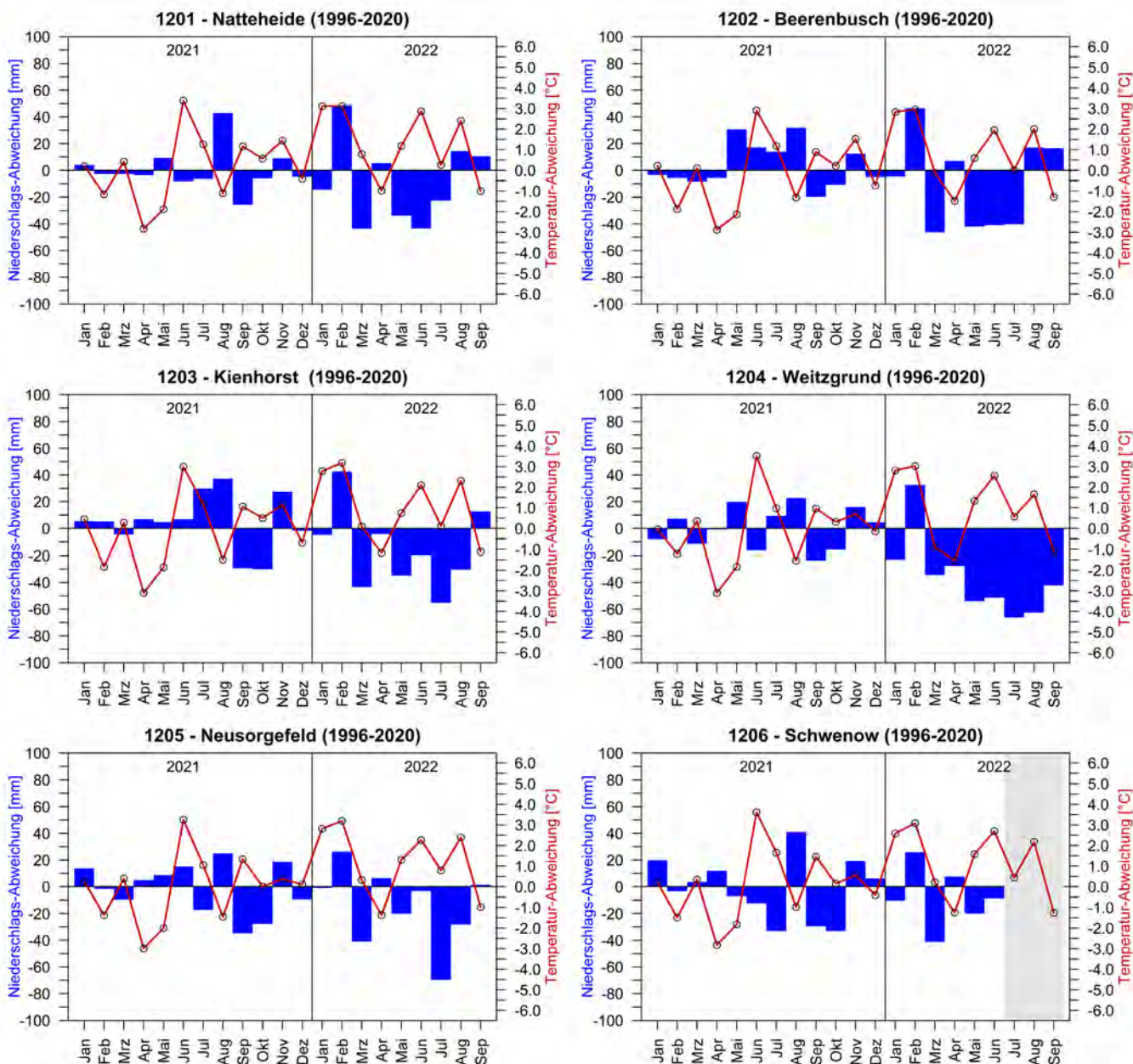


## BAUMARTENVERGLEICH – FRUKTIFIKATION

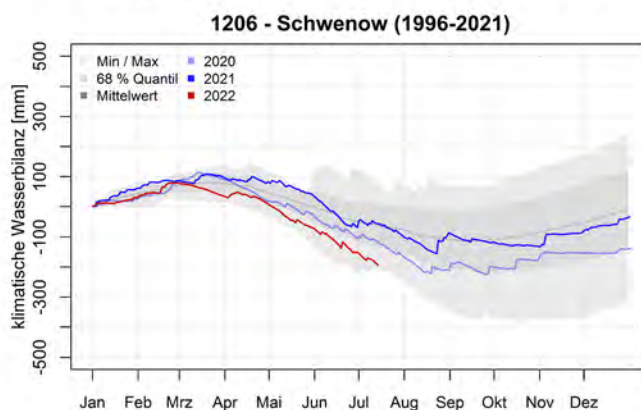
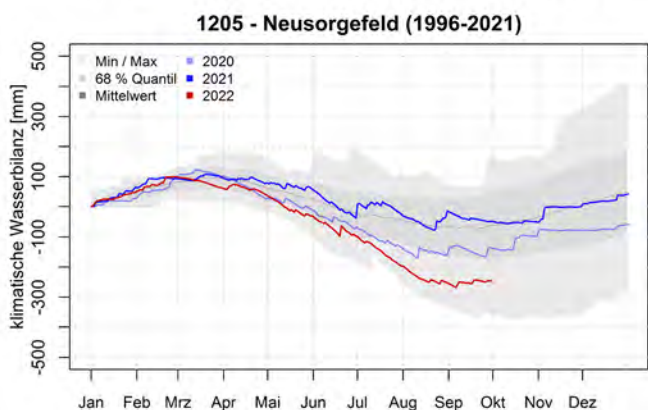
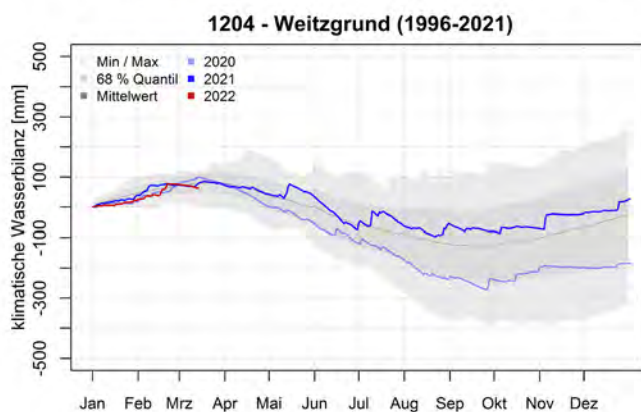
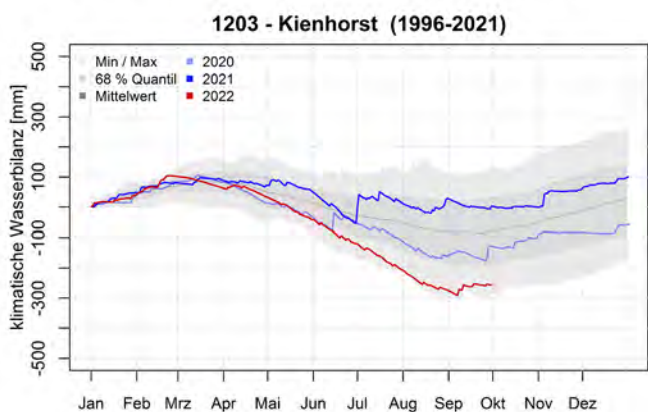
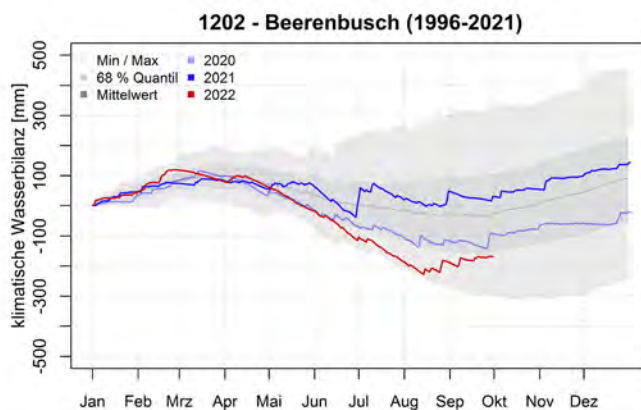
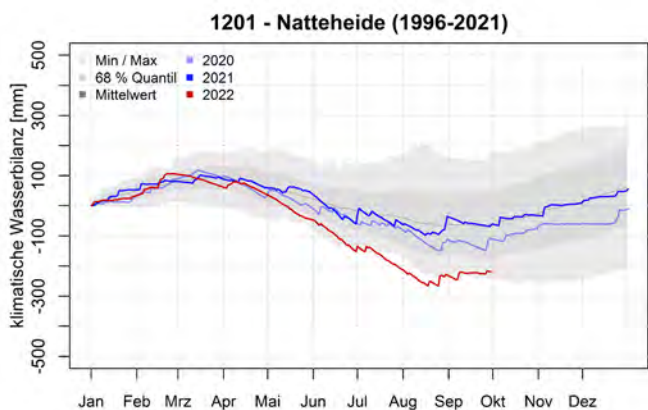




WITTERUNGSBEDINGUNGEN – ABWEICHUNG VOM MONATSMITTEL



## WITTERUNGSBEDINGUNGEN – KLIMATISCHE WASSERBILANZ



W LDWIRTSCHAFT  
ABER NATUERLICH

**Ministerium für Landwirtschaft, Umwelt und  
Klimaschutz des Landes Brandenburg (MLUK)**

Landesbetrieb Forst Brandenburg  
Landeskompetenzzentrum Forst Eberswalde

Alfred-Möller-Straße 1  
16225 Eberswalde  
Tel.: (03334) 2759-203  
Fax: (03334) 2759-206  
E-Mail: [LFE@lfb.brandenburg.de](mailto:LFE@lfb.brandenburg.de)  
[www.forst.brandenburg.de](http://www.forst.brandenburg.de)